



621.384153
T 315
C. 2

ESCUELA SUPERIOR POLITECNICA DEL LITORAL

Facultad de Ingeniería en Electricidad

**«Diseño de un Sistema de Trasmisión
digital de Protocolo Múltiple en una
Red Satelital usando T D M A»**

TESIS DE GRADO

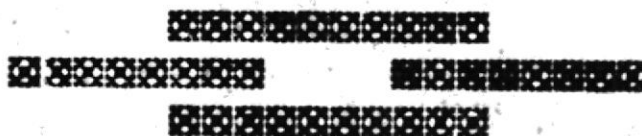
Previa a la Obtención del Título de:

INGENIERO EN ELECTRICIDAD

ESPECIALIZACION: ELECTRONICA

PRESENTADA POR:

Ricardo Terán S.



AÑO LECTIVO

1989 - 1990

GUAYAQUIL

ECUADOR

ESCUELA SUPERIOR
POLITECNICA DEL LITORAL

FACULTAD DE INGENIERIA EN ELECTRICIDAD.

"Diseño de un Sistema de Transmisión
Digital de Protocolo Múltiple en una
Red Satelital usando TDMA."

TESIS DE GRADO

Previa a la obtención del Título de:

INGENIERO EN ELECTRICIDAD

ESPECIALIZACION : ELECTRONICA

Presentada por:

RICARDO TERAN S.

GUAYAQUIL - ECUADOR

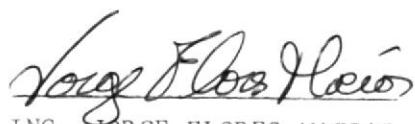
1.989

DEDICATORIA

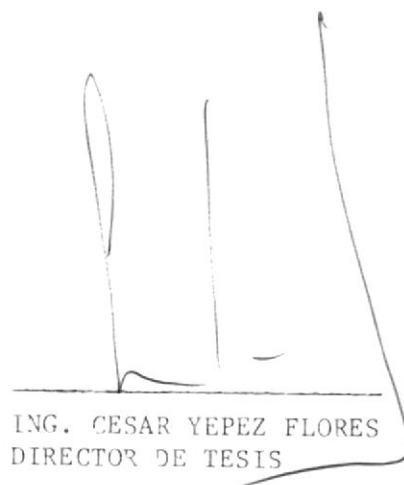
A MARTHITA

A G R A D E C I M I E N T O

AL ING. CESAR YEPEZ F.
Director de Tesis, por su
ayuda y colaboración tanto
por la realización de este
trabajo como su apoyo durante
toda mi carrera.



ING. JORGE FLORES MACIAS
SUB-DECANO DE LA FIE



ING. CESAR YEPEZ FLORES
DIRECTOR DE TESIS



ING. PEDRO CARLO PAREDES
MIEMBRO PRINCIPAL



ING. PEDRO VARGAS GORDILLO
MIEMBRO PRINCIPAL

DECLARACION EXPRESA



"La responsabilidad por los hechos , ideas y doctrinas expuestos en esta tesis, me corresponden exclusivamente; y el patrimonio intelectual de la misma , a la ESCUELA SUPERIOR POLITECNICA DEL LITORAL".

(Reglamento de Exámenes y Títulos profesionales de la ESPOL).

Ricardo Terán S.
.....

Ricardo Terán Salazar

RESUMEN :

En ésta tesis se analizará una clase de protocolo aplicable a un tipo de red de transmisión de comunicación satelital. Se realiza la comparación y cálculos de probabilidad en relación a otros protocolos. Se analiza los estados de la red: Transmisión efectiva, trabajo al vacío (idle) o sin carga y de colisión .

Al incrementarse la instalación de estaciones, por ejemplo en transmisiones efectivas nosotros debemos reducir cada periodo de trabajo sin carga, esto se obtiene a partir de la utilización de un Sistema de "Protocolo de Múltiple Transmisión".

En efecto nosotros usaremos una parte del estado de transmisión al vacío o sin carga para la transmisión múltiple , así indirectamente incrementamos el rendimiento de la red.

Varios parámetros son analizados , así como la probabilidad de colisión , trabajo al vacío o sin carga y el rendimiento , así como los tiempos de espera y de retardo.

INDICE GENERAL

	Pág.
RESUMEN -----	VI
INDICE GENERAL -----	VII
INDICE DE FIGURAS -----	IX
INTRODUCCION -----	XI
CAPITULO I	
DEFINICION DE PARAMETROS Y ASUMICIONES -----	13
CAPITULO II	
2.- ARQUITECTURA Y PROTOCOLOS -----	16
2.1 .- Modelo de Arquitectura -----	16
2.2 .- Protocolos Existentes -----	18
2.2.1. ALOHA Puro -----	19
2.2.2. ALOHA Ranurado -----	20
CAPITULO III	
3.- DESARROLLO DEL ANALISIS -----	21
3.1 .- Análisis General -----	21
3.2 .- ALOHA Puro -----	25
3.3 .- ALOHA Ranurado -----	29
3.4 .- Tamaño Optimo de las Ranuras --	32
3.4.1. Reducción del Tamaño de Ranura	32
3.4.2. Incremento del Tamaño del Slot	33
CAPITULO IV	
4.- ESTADOS DEL CANAL -----	36

	Pág.
CAPITULO V	
5.- MULTIPLE TRANSMISION	45
5.1.- Transmisión Doble	45
5.2.- Transmisión Triple	59
5.3.- m- Transmision	72
5.4.- Número Óptimo de transmisiones	79
CONCLUSIONES Y RECOMENDACIONES	81
REFERENCIAS BIBLIOGRAFICAS	83

INDICE DE FIGURAS

	Pág.
FIGURA 1.- Red de Comunicación Satelite.....	17
FIGURA 2.- Canal del ALOHA PURO.....	25
FIGURA 3.- Rendimiento vs. Carga Referida para el ALOHA PURO.....	28
FIGURA 4.- Canal del ALOHA RANURADO.....	29
FIGURA 5.- Rendimiento vs. Carga Referida para el ALOHA RANURADO.....	31
FIGURA 6.- Reducción del Período del Slot....	32
FIGURA 7.- Comparación en el ALOHA RANURADO en reducción y aumento.....	34
FIGURA 8.- Incrementando el tamaño del Slot..	35
FIGURA 9.- Probabilidad del Período de Idle..	38
FIGURA 10.- Probabilidad de Colisión vs. Carga Referida.....	41
FIGURA 11.- Número de Retransmisiones vs. S Rendimiento.....	42
FIGURA 12.- Distribución del Período de Idle para la doble transmisión.....	47
FIGURA 13.- Comparación entre las Transmisiones Simple y Doble.....	48
FIGURA 14.- Rendimiento para la Doble Transmi- sión.....	52
FIGURA 15.- Comparación entre S y S1.....	53
FIGURA 16.- Período de Colisión C' vs. Carga	

	Pág.
Referida para la Doble transmisión	55
FIGURA 17.- Comparación entre C y C' ; Colisión..	56
FIGURA 18.- Distribución de Retransmisiones para la Doble Transmisión	57
FIGURA 19.- Comparación entre C_1 y C	58
FIGURA 20.- Retransmisiones W_1 vs. Rendimiento.	60
FIGURA 21.- Comparación entre W_n y W_1	61
FIGURA 22.- Distribución del Período de Idle vs. I_2 vs. Carga Referida.....	63
FIGURA 23.- Comparación entre I , I_1 y I_2	64
FIGURA 24.- Rendimiento para la Triple Transmisión vs. Carga Referida.....	69
FIGURA 25.- Comparación entre los Rendimientos	70
FIGURA 26.- Colisión para Transmisión Triple..	71
FIGURA 27.- Comparación entre las Colisiones..	73
FIGURA 28-A.- Retransmisión vs. Rendimiento para Transmisión Simple	74
FIGURA 28-B.- Retransmisión vs. Rendimiento para Transmisión Triple	75
FIGURA 28-C.- Retransmisión vs. Rendimiento para Transmisión Doble	76
FIGURA 29.- Comparación entre el Tiempo de Espera Normalizado vs. Rendimiento.....	77

INTRODUCCION



En nuestro estudio , se simulará un sistema de red de transmisión via satélite conteniendo las siguientes características, [1][2][4][6] :

- . Transmisión Basada en Paquetes
- . Compartición de un Medio Común (modo de transmisión TDMA)
- . Sin Rotar pero Conteniendo
- . Colisión y Resolución
- . La Información es recibida por algunas ó todas las estaciones

La Demanda que es importante en la conmutación de la red, así como el direccionamiento , control de flujo y/ó la rotación no son concernientes aquí. Nuestro interés se centrará en el medio de acceso de los protocolos de control.

En el desarrollo de una red de transmisión , no todos los algoritmos de contenido previenen las colisiones. Considerando que el tiempo de propagación entre el satélite y la estación terrena es aproximadamente grande (usualmente es de 540 ms para ida y vuelta), la estación terrena no tiene conocimiento

del estado de la red. Así cuando una estación terrena tiene un paquete listo para transmitir, este desconoce si en las condiciones del canal, es decir si es que esta transmitiendo sin carga (estado idle) o esta ocupado, por consiguiente las colisiones son inevitables. En esta búsqueda se ha dirigido hacia técnicas de incremento de la utilización del canal y se redujo las retransmisiones como resultado de las colisiones.

La tesis se encuentra organizada de la siguiente manera:

- Capítulo 1 : Terminología, definiciones y asunciones.
- Capítulo 2 : Selección y descripción de un modelo de arquitectura para una red satelital /HUB, y algunos protocolos existentes.
- Capítulo 3 : Desarrollo del análisis del contenido basado en los protocolos.
- Capítulo 4 : Explicación y definición de los tres estados de una red de transmisión para un tipo de sistema de comunicación satelital y las probabilidades de que esta red este en cualquiera de estos tres estados.
- Capítulo 5 : Se hace referencia del protocolo de múltiple transmisión para presentarlo y analizarlo .

CAPITULO I

1.-DEFINICION DE PARAMETROS Y ASUMICIONES

Slot ó Ranura : Un tiempo de transmisión de un paquete, la unidad de tiempo para el rendimiento en esta tesis.

G : La carga normalizada referida de la red ó el número de paquetes transmitidos por tiempo de transmisión de paquetes en la red incluyendo las retransmisiones.

N : La probabilidad de que este arribando en arribando a una estación terrena en la siguiente ranura.

S : La probabilidad de que ahí halla exactamente una estación terrena lista para transmitir un paquete en la siguiente ranura (se puede decir que éste es el

rendimiento normalizado de la red)

- I : Porcentaje del período de Idle
(transmisión sin carga) ó la
probabilidad de que ninguna
estación terrena esté transmitiendo
en la siguiente ranura.
- C : Porcentaje del Período de
Colisión, ó la probabilidad de
que aquí se encuentren dos o más
estaciones terrenas transmitiendo
paquetes en la siguiente ranura.
- W : Tiempo de Espera, el intervalo de
tiempo en el que existe entre
el tiempo cuando el primer
paquete está arriando en una
(SES) estación terrena cualquiera
y el tiempo cuando esta transmisión
efectiva empieza.
- D : Retardo, intervalo de tiempo
entre el tiempo en que el primer
paquete arriva a una estación
terrena y el tiempo en el que es
recibida exitosamente para este

destino.

- Tp : Tiempo de propagación de ida y vuelta entre la estación terrena y el satélite
- Ts : Velocidad de transmisión (kbit/s)
- a : Tiempo de propagación normalizado de ida y vuelta (Pt/ranura)
- HUB : Sistema de Transmision de alta Potencia para comunicacion satelital.
- TDMA : Acceso Múltiple por división de tiempo.

- Asumiciones:
- 1. El canal está libre de errores
 - 2. Todos los paquetes son de igual tamaño.

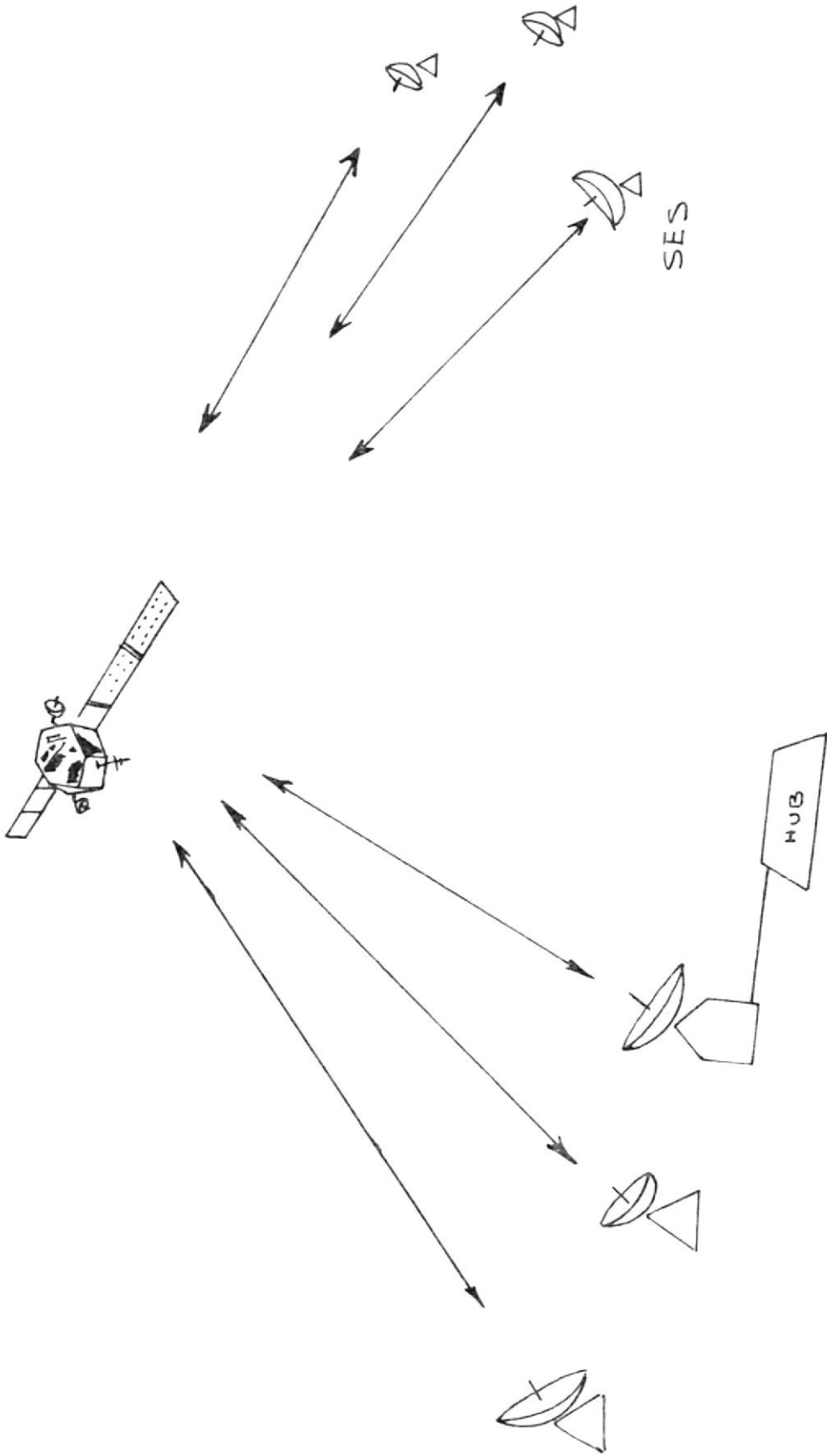
CAPITULO 2

2.- ARQUITECTURA Y PROTOCOLOS.

La presente sección, se encargara de describir el modelo de arquitectura para una red de comunicaciones satelital/HUB, la cual será analizada para unos protocolos específicos [1][2], ALOHA PURO y ALOHA RANURADO.

2.1.- Modelo de Arquitectura

El modelo de la red de comunicacion satelite /HUB, como es presentado en la Fig. 1, consiste de un simple satelite, un HUB y muchas pequeñas estaciones terrenas (SES), las cuales son de baja potencia. El satelite es una simple repetidora. Toda la información de un SES a un HUB y desde el HUB al SES va a través del satelite. Cada SES no puede comunicarse directamente con otro SES. La comunicacion que existe entre cada una se debe hacer a traves del HUB por medio del satelite. El HUB es un transmisor de alta potencia. Así cuando un SES desea transmitir un paquete hacia otro SES, este primero transmite este paquete al HUB por via Satelite, entonces el HUB trasmite el paquete con destino SES por medio del satelite. La red utiliza dos



RED DE COMUNICACION
VIA SATELITE

Fig. 1



canales f_1 y f_2 . f_1 es la frecuencia utilizada por el SES para transmitir al HUB y la f_2 es la frecuencia de transmisión del HUB.

F_2 es simplemente la frecuencia de (time division multiplex) transmisión del canal en TDMA de tal manera que en la cual sólo se transmitan paquetes en él.

Así f_2 es una frecuencia para la cual el canal libre de colisiones . De otra manera, todo el contenido que hay en la estación terrena pasa por f_1 todo el tiempo , por consiguiente , el desarrollo de de la frecuencia f_1 es la mas importante en el modelo de arquitectura de red .

El mecanismo para tanto ALOHA RANURADO Y PURO será analizado [1][2]. Damos los resultados aquí solamente como comparación .

Nuestro principal propósito es el de demostrar el desarrollo de la transmisión multiple usando ALOHA Ranurado.

2.2.- Protocolos Existentes

Aquí se da dos bien conocidos protocolos : ALOHA PURO y ALOHA RANURADO para desarrollo.

2.2.1 ALOHA Puro

El más reciente protocolo para una red de comunicación satellite ,conocido como ALOHA , fue desarrollado por la Universidad de Hawai en el año de 1970 [3] . El protocolo tiene las siguientes características :

Donde sea que una estación terrena tenga un paquete listo , esta transmitirá el paquete inmediatamente. Así dos ó mas estaciones terrenas pueden transmitir paquetes simultáneamente cercanos (ó dentro de un período cercano de tiempo) . Este llevará a la condición de colisión con resultados de transmitir basura en los datos. Cuando los paquetes colisionados arriivan al HUB , este simplemente ignora la basura de la información . La estación terrena, despúes,envía un paquete, esperará un reconocimiento desde el HUB. Despúes de dos de propagación de ida y vuelta sin que se reciba una señal de reconocimiento la estación enviará una retransmisión del paquete cuando éste reciba un reconocimiento. Cuando el HUB recibe un paquete transmitido exitosamente , éste envia el paquete a la estación terrena destino y al mismo tiempo envia la estación terrena una señal de reconocimiento.

El protocolo ALOHA Puro es tan sencillo como puede

verse, pero este sufre de gran cantidad de colisiones todo el tiempo, y el máximo rendimiento es solamente el 18% cuando $G = 1$ [1][2].

2.2.2. ALOHA Ranurado

El ALOHA Ranurado [12] es una modificación del ALOHA Puro, en el cual el tiempo sobre el canal f_1 (frecuencia desde la estación terrena al HUB) es organizado en ranuras de iguales tamaños (iguales a un tiempo de transmisión de paquete). Algunos paquetes comienzan el arranque al inicio de una ranura. En cualquier lado una estación terrena tiene un paquete listo, éste tiene que esperar hasta el inicio del siguiente slot o ranura para transmitir este paquete. Por consiguiente, todos los paquetes transmitidos son transmitidos efectivamente o todos colisionan. El ALOHA Ranurado tiene una ligera restricción, todos los paquetes tienen que esperar cerca de la mitad de un tiempo de transmisión de paquete y entonces necesita de alguna técnica de sincronización para la transmisión de la estación terrena, pero reduce la probabilidad de colisión. Este es bien conocido que para el máximo rendimiento del ALOHA Ranurado que es dos veces que el del ALOHA Puro.

CAPITULO 3



3.- DESARROLLO DEL ANALISIS.

La Utilización del Canal es un parámetro muy importante de todas las redes. Este es la unidad de medida de información de red que liberará en una unidad de tiempo. Además, la eficiencia y la utilización de los incrementos de la red como el rendimiento son incrementados, el alto rendimiento es lo requerido para todo.

3.1 Análisis General.

Supongamos que la red consista de " n " estaciones terrenas 1, 2, ..., n. La i-ésima estación terrena tiene un paquete para transmitir en una ranura dada con la probabilidad g_i incluyendo las retransmisiones.

Por consiguiente, la carga normal referida de toda la red es:

$$G = g_1 + g_2 + \dots + g_n$$

3-1

Además todas las g_i ($i = 1, 2, \dots, n$) son mutuamente exclusivas, la probabilidad S_i de que solamente la i-

ésima estación tenga un paquete listo para transmitir y que todas las otras $n-1$ estaciones terrenas no lo hagan es:

$$s_i = g_i * \prod_{i < j} (1 - g_j) \quad 3-2$$

La probabilidad de que exactamente una de la n estaciones terrenas tenga un paquete listo en el siguiente slot o ranura es el rendimiento S de la red:

$$S = s_1 + s_2 + \dots + s_n \quad 3-3$$

En lo sucesivo, para efectos de simplificación, se adoptará la siguiente asunción:

$$\begin{aligned} \text{asunción 3 : } g_1 &= g_2 = \dots = g_n = g \quad \text{y} \\ s_1 &= s_2 = \dots = s_n = s \end{aligned}$$

de la ecuación 3-1 tenemos

$$G = n * g \quad \text{y} \quad g = G / n \quad 3-4$$

de la ecuación 3-2 tenemos que :

$$s = g * (1-g)^{n-1} \quad 3-5$$

de la ecuación 3-3 y 3-4 y 3-5 tenemos el rendimiento para la red S :

$$S = n * s = n * g * (1-g)^{n-1} = G * (1-g)^{n-1} \quad 3-6$$

En General , se considera el intervalo de tiempo de t slots (ranuras). La probabilidad de que una estación terrena tenga un paquete listo en t ranuras es $t * g$ (tg para abreviación) . De 3-6 , la probabilidad St de que exactamente una de las n estaciones terrenas transmita en t ranuras es :

$$St = t * G * (1-tg)^{n-1} \quad 3-7$$

La probabilidad It de que ninguna estación terrena transmita en t ranuras es :

$$It = (1-tg)^n \quad 3-8$$

Esta es la probabilidad It de que la red esté

trabajando al vacío en el periodo de t slots (ranuras).
 La probabilidad C_t de que dos o más estaciones terrenas transmitan en t ranuras es:

$$C_t = \sum_{n=2}^{\infty} * \binom{n}{k} (tg)^k + (1-tg)^{n-k} \quad 3-9$$

De las ecuaciones 3-7, 3-8, 3-9 tenemos que

$$S_t + I_t + C_t = \sum_{n=0}^{\infty} \binom{n}{k} (tg)^k + (1-tg)^{n-k} = 1^n = 1 \quad 3-10$$

$$\text{Así} \quad C_t = 1 - S_t - I_t \quad 3-11$$

Para una infinita cantidad de estaciones terrenas, haciendo

$n \rightarrow \infty$ y aplicando el teorema de Poisson:

$$\binom{n}{k} p^k * (1-p)^{n-k} = e^{-np} * (np)^k / k! \text{ como } n \rightarrow \infty$$

aplicamos esto a 3-7, 3-8 tenemos

$$S_t = tg * e^{-tg} \quad 3-12$$

$$I_t = e^{-tG} \quad 3-13$$

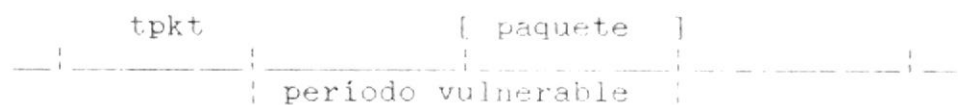
Combinando 3-12, 3-13 en 3-11 .tenemos

$$C_t = 1 - S_t - I_t = 1 - tG e^{-tG} - e^{-tG} \quad 3-14$$

3.2 ALOHA Puro

La performance de ALOHA Puro es bien conocido [1][2].

El resultado aquí sólo para comparación .



tpkt: tiempo de transmisión de paquete

Fig. 2 Canal del ALOHA Puro

En un sistema de ALOHA Puro , una estación terrena puede transmistir inmediatamente un paquete cuando se

encuentre listo . La Fig. 2 muestra que en el protocolo del ALOHA Puro pueden colisionar si allí están dos o más paquetes siendo transmitidos dentro de dos tiempos de transmisión de paquete. Esto implica de que el periodo de vulnerabilidad es dos tiempos de paquete de transmisión (2 ranuras). Lo favorable de este protocolo es de que ahí no habrá colisión si y sólo si solo una estación terrena transmite un paquete en el periodo de dos Slots (ranuras). De 3-7 tenemos la probabilidad de que una estación terrena transmita en dos slots es:

$$S_2 = 2G * (1-2g)^{n-1} \quad 3-15$$

Asumiendo un número infinito de estaciones

$$S_2 = 2G * e^{-2G} \quad 3-16$$

Pero el rendimiento ,por definición de la sección 2 , es el número de paquetes transmitidos en un tiempo de transmisión de paquete ó la probabilidad de que solamente una estación terrena transmita un paquete en un tiempo de transmisión de paquete y no dos . Dividiendo la ecuación 3-15 y 3-16 para 2 tenemos que el rendimiento S_p del ALOHA Puro es :

$$S_p = G * (1-2g)^{n-1}$$

y para un número infinito de estaciones terrenas



$$S_p = G * e^{-2G}$$

3-18

Si diferenciamos la ecuación 3-18 con respecto a G e igualamos a cero, encontramos que $G = 1/2$. Así el máximo rendimiento del ALOHA Puro es

$$S_{pm} = (1/2) * e^{-1} = 1/2e = 0.18$$

La Fig. 3 muestra el rendimiento versus carga referida G del ALOHA Puro con n estaciones, donde $n = 10, 40$ y un número infinito de las mismas, respectivamente.

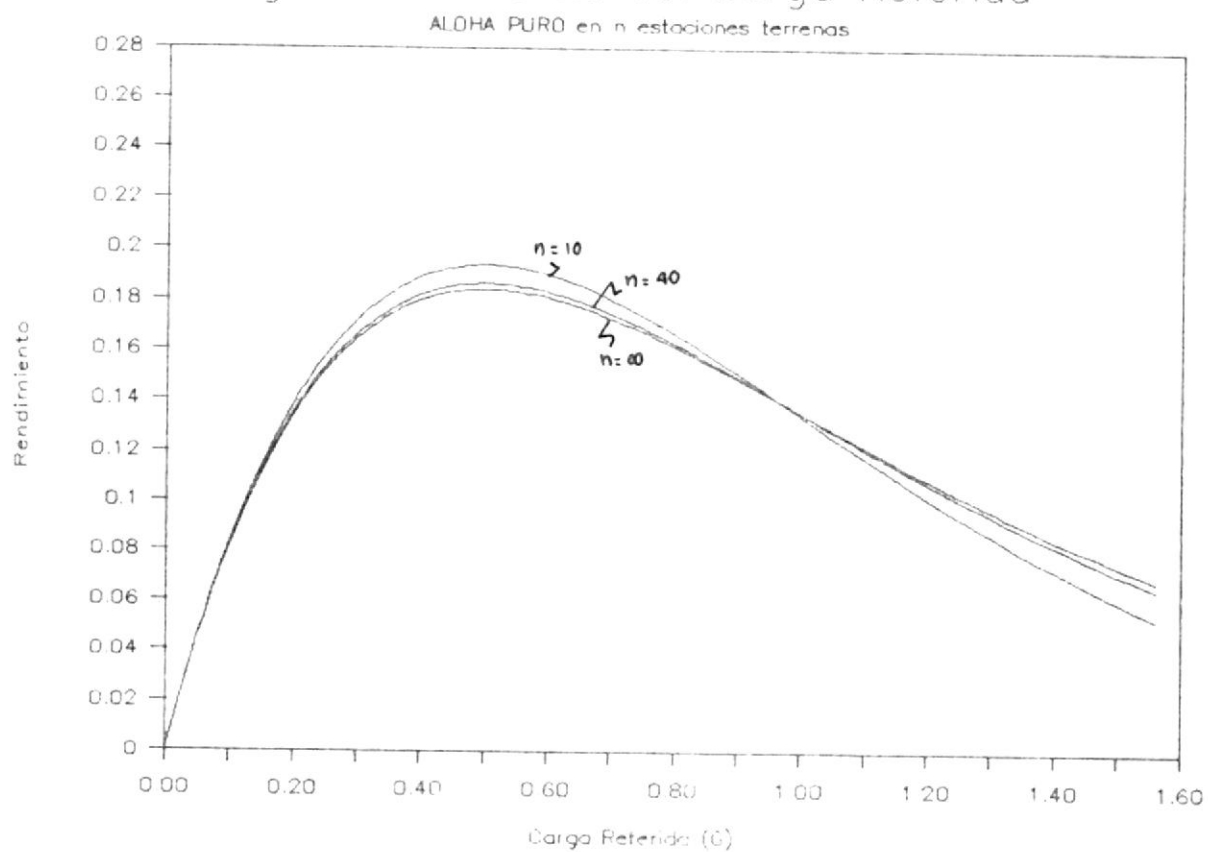
En equilibrio $N = S$, allí se encuentran S paquetes dentro, están G ($G > S$) siendo transmitidos.

Así dentro del promedio, cada paquete es transmitido cerca de G/S veces.

Por consiguiente la demora de cada paquete, D es

$$D = (G/S-1) * (2a + 1 + (K + 1) / 2) + 2a + 1 \quad 3-20$$

Fig.3 Rendimiento vs. Carga Referida



* Donde K es el número máximo de veces de transmisión de espera de un paquete después de colisión.

3.3 ALOHA Ranurado

En el caso del ALOHA Ranurado, cada paquete es transmitido al inicio de una ranura. Por consiguiente, ellos chocaran totalmente o la transmisión será efectiva totalmente. La Fig. 4 presenta el periodo de vulnerabilidad del ALOHA Ranurado es un tiempo de transmisión de paquete (1 slot). Allí será un promedio de $1/2$ ranura de tiempo de espera por cada paquete de transmisión.



t_v - Período Vulnerable

Fig. 4 Canal del ALOHA Ranurado

El rendimiento S_s del protocolo del ALOHA Ranurado, puede ser obtenido de 3-7, haciendo $t=1$ (la probabilidad de que sólo una estación terrena transmita

en una ranura)

$$S_s = G * (1-g)^{n-1} \quad 3-21$$

y para una infinita cantidad de estaciones

$$S_s = G * e^{-G} \quad 3-22$$

La Fig. 5 muestra el rendimiento versus carga referida G del ALOHA Ranurado con n estaciones terrenas , donde $n = 10, 40$ y un infinito número de estaciones terrenas respectivamente.

Si diferenciamos la ecuación 3-22 con respecto a G e igualando a cero . Obtenemos $G = 1$. Por consiguiente el máximo rendimiento S_s del ALOHA Ranurado es

$$S_{sm} = e^{-1} = 0.37 \quad 3-23$$

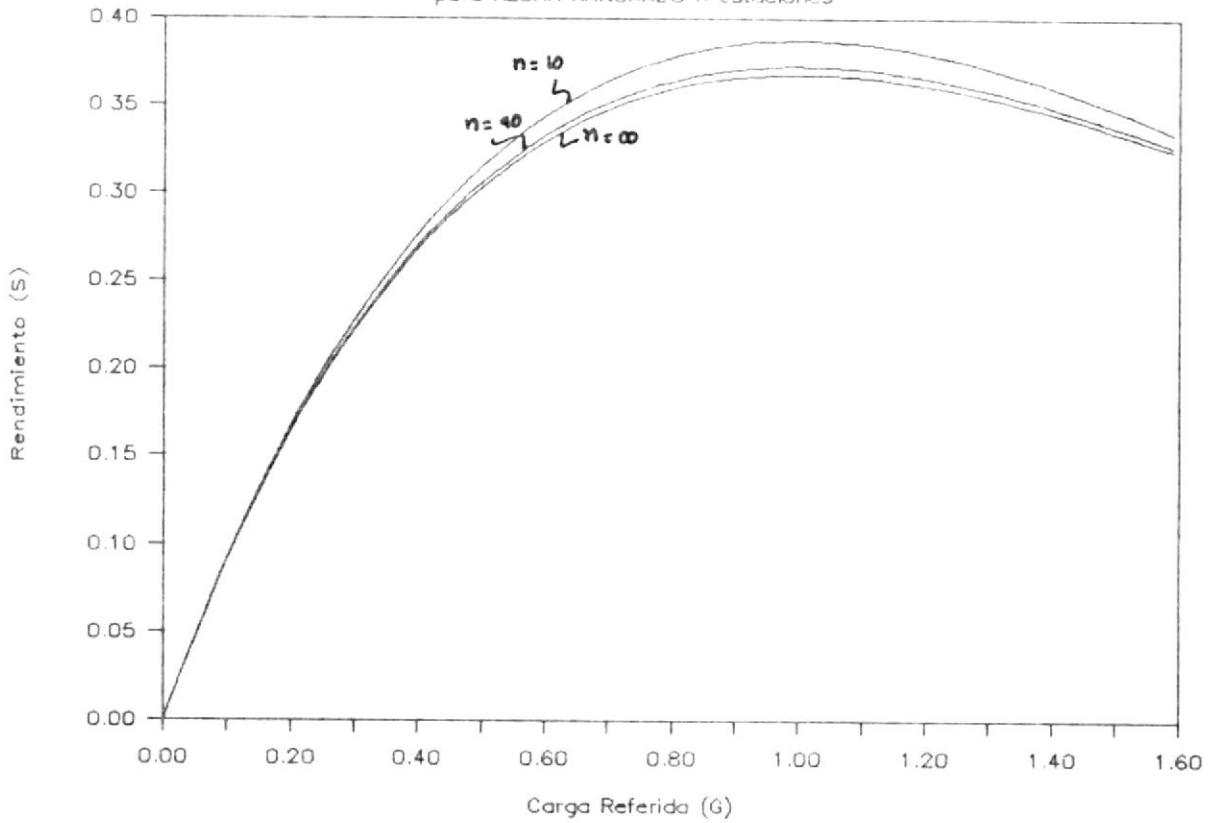
Por la ecuación 3-20 podremos obtener el retraso D_s para el Protocolo de ALOHA Ranurado que es :

$$D_s = (G/S-1)*(2a+ (3/2) + (k+1) + 2a + (3/2) \quad 3-24$$



FIG.5 Rendimiento VS Carga Referida

para ALOHA RANURADO n estaciones



3.4 Tamaño Optimo de Ranura

El rendimiento del ALOHA ranurado es dos veces mayor que el del ALOHA Puro ,asi el efecto del periodo de vulnerabilidad del ALOHA Ranurado es reducido a la mitad que el del ALOHA Puro y para organización del tiempo del canal dentro de ranuras continuas quienes tienen igual tamaño a un tiempo de transmisión de paquete. Favoreciendo la reducción del periodo de vulnerabilidad que sin duda mejorará el rendimiento. Algo que podemos hacer es cambiar el tamaño del slot (ranura) , para observar cuán vulnerable este periodo puede ser.

3.4.1 Reduciendo Tamaño de la Ranura

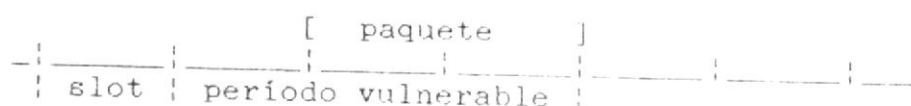


Fig. 6 Reduciendo Período del Slot

Reduciendo el tamaño del slot a la mitad , este será un tiempo de transmisión de paquete igual a 2 Slots. En este caso , de la Fig. 6 se puede ver que el periodo de vulnerabilidad es de 3 slots (un paquete y medio de

tiempo de transmisión). Así el rendimiento es:

$$S = G * (1-1.5g)^{n-1} \quad 3-25$$

y asumiendo un infinito número de estaciones,

$$S = G * e^{-1.5G} \quad 3-26$$

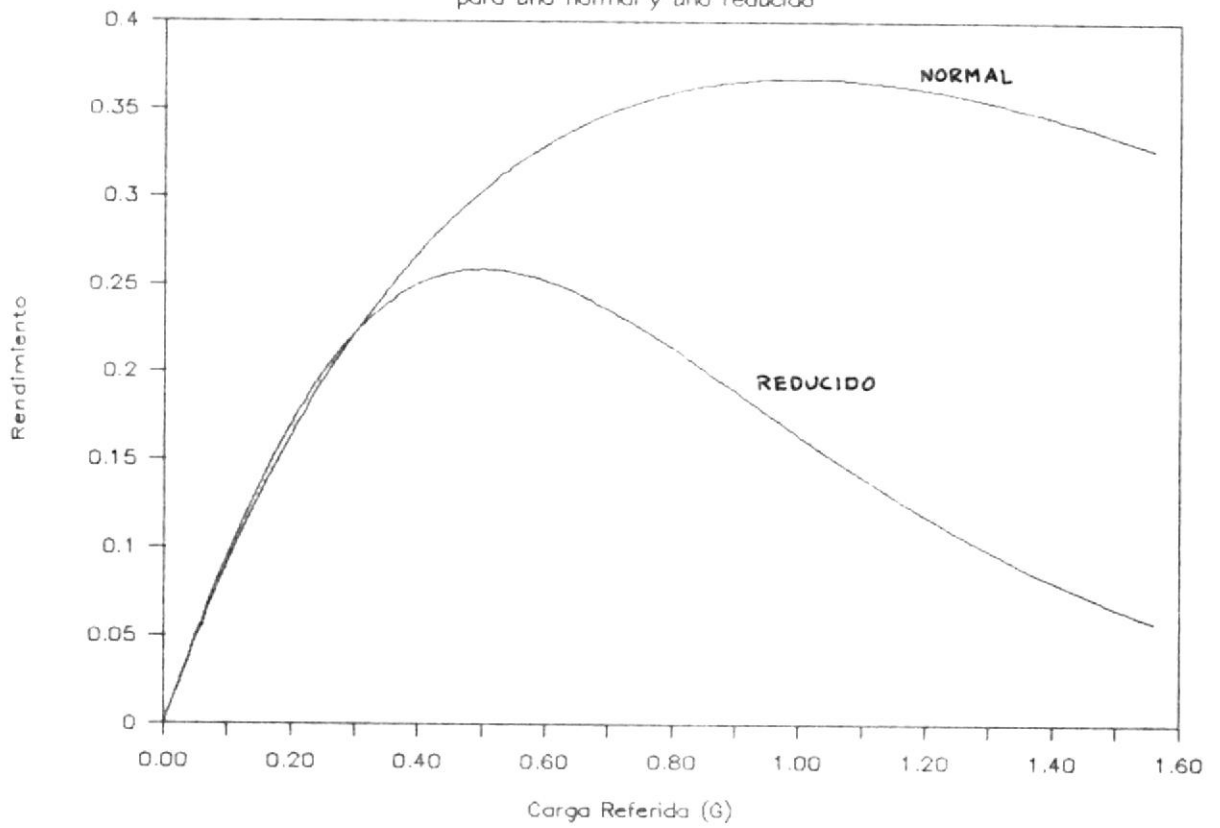
Podemos observar que con este resultado el protocolo de ALOHA Ranurado es mejor cuando $S_s = G e^{-G}$. De la Fig. 7 observamos la comparación entre el tamaño normal de un slot y uno reducido. De la Fig. 7 podemos ver que la reducción del tamaño del Slot no es factible.

3.4.2 Incrementando el Tamaño del Slot

Consideremos ahora, el tamaño del slot es un paquete y medio de tiempo de transmisión. La Fig. 8 presenta la condición del canal de incremento del tamaño del slot. De la Fig. 8, es obvio que el período de vulnerabilidad es como un paquete y medio del tiempo de transmisión, y después de la transmisión de cada paquete es un período de transmisión al vacío de tiempo de medio paquete de transmisión. Este no es factible.

Del incremento y decrecimiento del tamaño del slot,

Fig.7 Comparación entre ALOHA RANURADO
para uno normal y uno reducido





se extrae el siguiente resultado: Que este incremento de
reducción no es favorable para el ALOHA Ranurado.
Por consiguiente el tamaño óptimo del slot es una
unidad tiempo de transmisión de paquete .

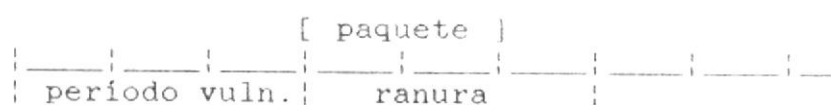


Fig. 8 Incrementando el tamaño del Slot.

CAPITULO 4

4.- LOS ESTADOS DEL CANAL (TRANSMISION, TRANSM. AL VACIO (IDLE) , COLISION)

Como podemos ver el desarrollo del ALOHA Ranurado es mucho mejor que el ALOHA Puro. por consiguiente sólo se considera el protocolo para el ALOHA Ranurado en el desarrollo de esta tesis.

En una red de Transmisión Satelital, el retardo en la propagación es extremadamente larga comparada al tiempo de transmisión de un paquete, una estación terrena no tiene conocimiento de la situación actual de la otra estación terrena. Por consiguiente la red puede encontrarse en cualquiera de estos tres estados a la vez :

1. Estado de Transmisión: Solamente una de las n estaciones está transmitiendo (transmisión efectiva)
2. Estado de Colisión : Dos o más estaciones están transmitiendo al mismo tiempo.
(Colisión Eminente)
3. Estado de Idle : Ninguna de la n estaciones

esta transmitiendo (transmisión al vacío o sin carga)

La probabilidad I de que la red este en estado de Idle es la probabilidad de que ninguna de las n estaciones terrenas transmitan en un slot dado :

$$I = (1-g)^n \quad 4-1$$

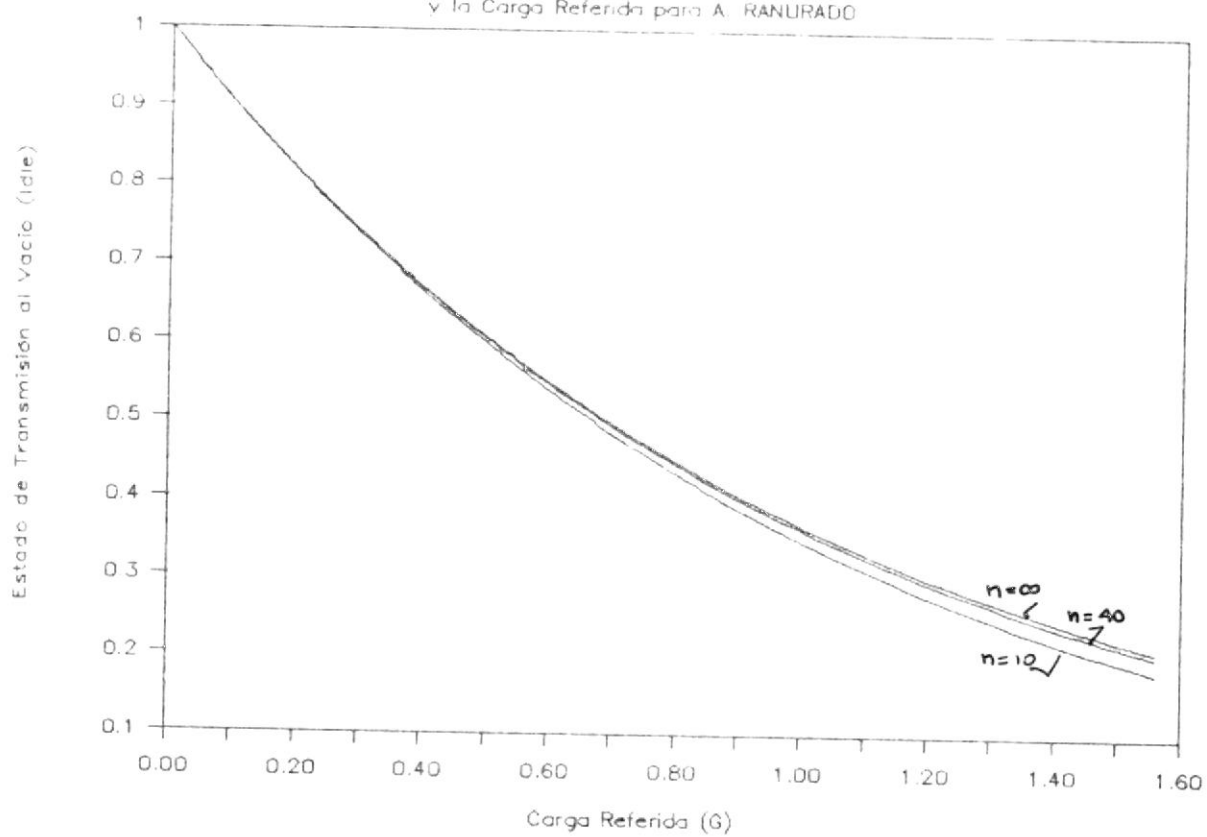
Utilizando el teorema de Poisson ,para un infinito número de estaciones terrenas.

$$I = e^{-G} \quad 4-2$$

La Fig. 9 presenta las curvas de I versus Carga referida G para n estaciones terrenas , donde $n = 10 , 40 ,$ e infinito número de estaciones terrenas , respectivamente . De la Fig. 9 podemos ver que cuando $G = 1$, la red gasta aproximadamente el 37 % del tiempo en estado de idle (transmisión al vacío).

La probabilidad de que la red esta en estado de transmisión es la probabilidad de que solamente una de las n estaciones terrenas transmita un paquete en un slot, entonces el rendimiento S es

Fig.9 Probabilidad de Período de Idle
y la Carga Referida para A. RANURADO



$$S = G * (1-g)^{n-1} \quad 4-3$$

o para un infinito número de estaciones terrenas

$$S = G * e^{-G} \quad 4-4$$

La Fig. 5 muestra las curvas de S versus carga referida normalizada G considerando diferentes valores para n estaciones terrenas, donde $n = 10, 40$ y un número infinito de estaciones terrenas respectivamente. De la Fig. 5 podemos ver que cuando $G = 1$ es aproximadamente 37 % de el tiempo en que una red está en estado de transmisión.

La probabilidad de que la red este en estado de colisión es la probabilidad C de que dos o mas estaciones terrenas transmitan paquetes en el mismo slot:

$$C = \sum_{n=2}^{\infty} \binom{n}{k} g^k * (1-g)^{n-k} \quad 4-5$$

Además $S + I + C = 1$ entonces $C = 1 - S - I$. Para un número infinito de estaciones terrenas sería

$$C = 1 - e^{-G} - G - G * e^{-G} \quad 4-6$$



La Fig. 10 da las curvas de C versus carga referida G con n estaciones terrenas, donde $n = 10, 40$ y un infinito de estaciones terrenas respectivamente.

Con la Fig. 10 se puede observar que para cuando $G = 1$ la red esta en estado de Colisión el 26 % del tiempo.

Seguidamente explicaremos G, S , y C . El numero total de los paquetes transmitidos por una red es G paquetes, en la

cual están siendo transmitido exitosamente S (en condiciones normales de equilibrio, $N = S$ el número de nuevos paquetes es tambien S)

El número de colisiones es C . Porque cualquier colisión produce retransmisión así el número normalizado de retransmisiones de cada paquete es C/S , este tambien es el tiempo de espera normalizado de cada paquete W_n

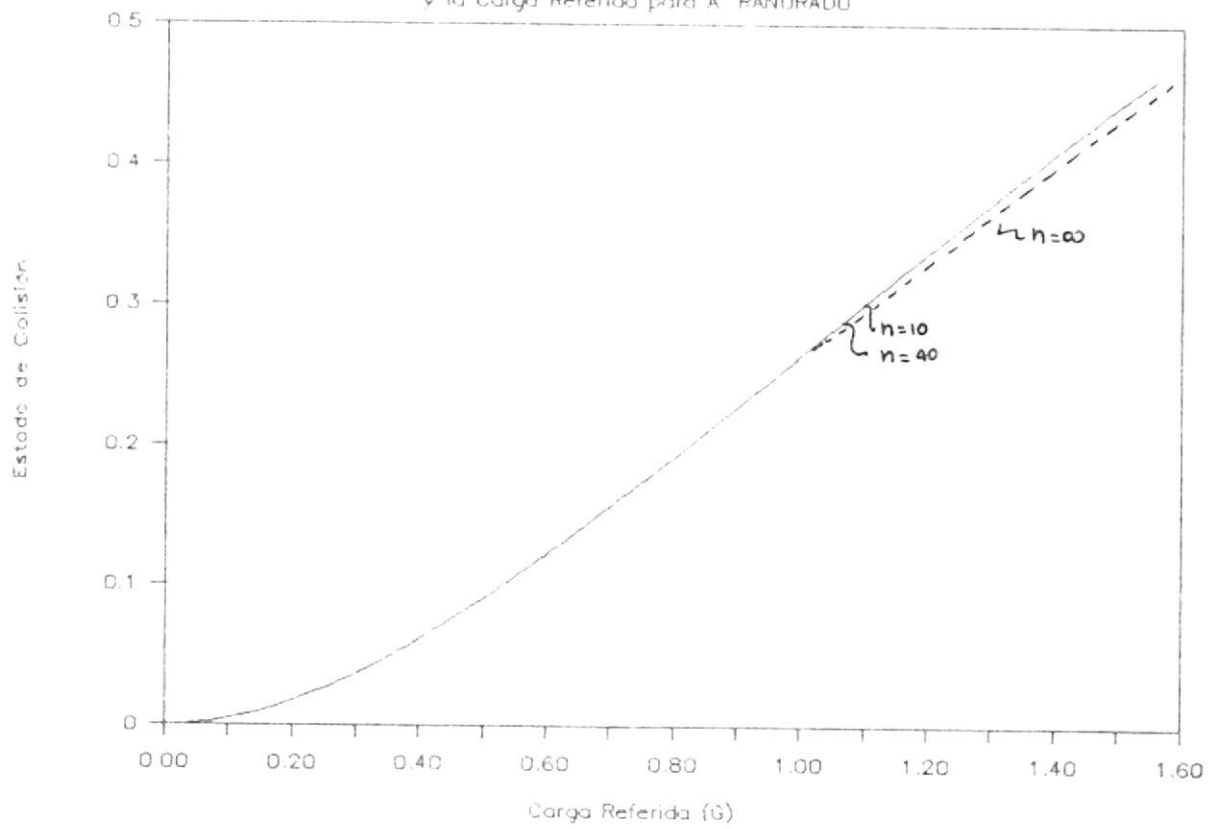
$$W_n = C/S$$

5-7

La Fig. 11 da las curvas de W_n versus S con n estaciones terrenas para $n = 10, 40, \infty$.

Para el análisis, podemos ver que solamente el 37 % de la capacidad del canal es utilizado. Esto implica

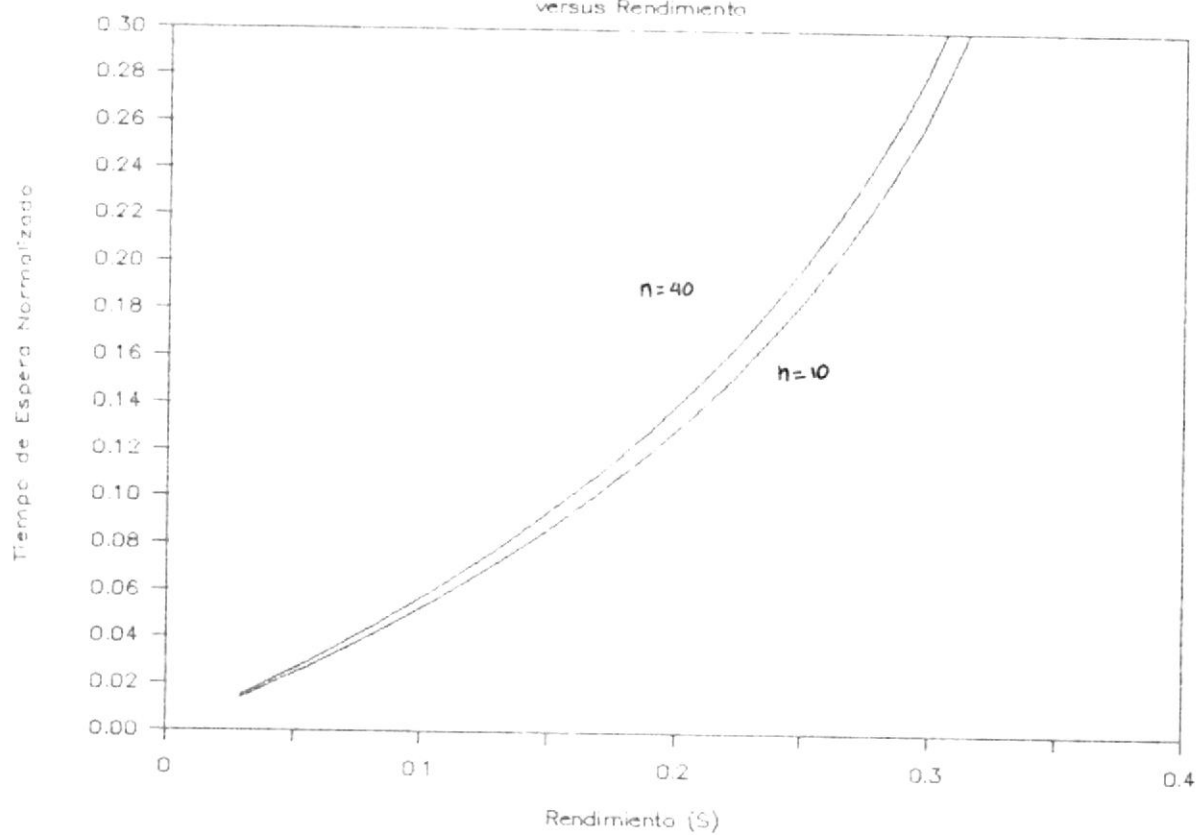
Fig.10 Probabilidad de Colisión vs.
y la Carga Referida para A. PANURADO





BIBLIOTECA

FIG.11 Número de Retransmisiones W_n
versus Rendimiento



que mas del 63 % de la capacidad del canal es desperdiciado. Especificamente , cerca del 37 % de la capacidad del canal es usado para no hacer nada (idle) y cerca del 26 % de la capacidad del canal es usada para transmistir alguna informacion con basura (colisión) . Al incrementar el rendimiento de la red, debemos ver como reducir cualquier periodo de idle o periodo de colisión .



5.- TRANSMISION MULTIPLE.

Al reducir el periodo de Idle , se puede incrementar el tráfico de la red. Si llega al máximo valor cuando $G = 1$. si nosotros incrementamos el periodo de Idle , podrá ser reducido , pero el rendimiento podrá ser reducido al mismo tiempo . Pero esto no es lo que deseamos , por consiguiente G no puede ser incrementado . Podremos transmitir todos los paquetes muchas veces en lugar de una sola vez [5]. El tráfico de la red es incrementado y el HUB tiene que seguir el sendero de los duplicados. En el siguiente análisis podremos ver la ganancia desde la transmisión multiple. El protocolo normal del ALOHA Ramurado , descrito en la sección 2.2 es referido como una transmisión simple.

5.1 TRANSMISION DOBLE.-

Definición del Protocolo: En cualquier lugar una estación terrena tiene un paquete listo . éste transmitirá el paquete dos veces en vez de una. Entre las dos transmisiones, aquí hay un intervalo de tiempo de longitud aleatoria.

Obtenemos así que cuando uno cualquiera o ambos de las dos transmisiones chocan, la señal de la estación terrena repetirá la doble transmisión.

Todo el paquete de la estación terrena es transmitida dos veces, así la probabilidad de que una estación terrena haga una transmisión de paquete en la siguiente ranura es $2 * G$ ($2G$). En esta situación, la probabilidad de que la red este en estado de idle es la probabilidad I_1 que todas las n estaciones terrenas no transmitan en una ranura es

$$I_1 = (1-2g)^n \quad 5-1$$

o asumiendo un número infinito de estaciones terrenas (aplicando Poisson)

$$I_1 = e^{-2G} \quad 5-2$$

La Fig. 12 da las curvas de I vs. Carga referida G con n estaciones terrenas, donde $n = 10, 40, 100$ respectivamente. La Fig. 13 es la comparación del período del Idle de un normal ALOHA Ranurado, y de una doble transmisión en ALOHA Ranurado.

Como $1-2g < 1-g$ tenemos que $I < I_1$ de la Fig. 13.



FIG.12 Distribución del Período de Idle para la Eoble Trans. II

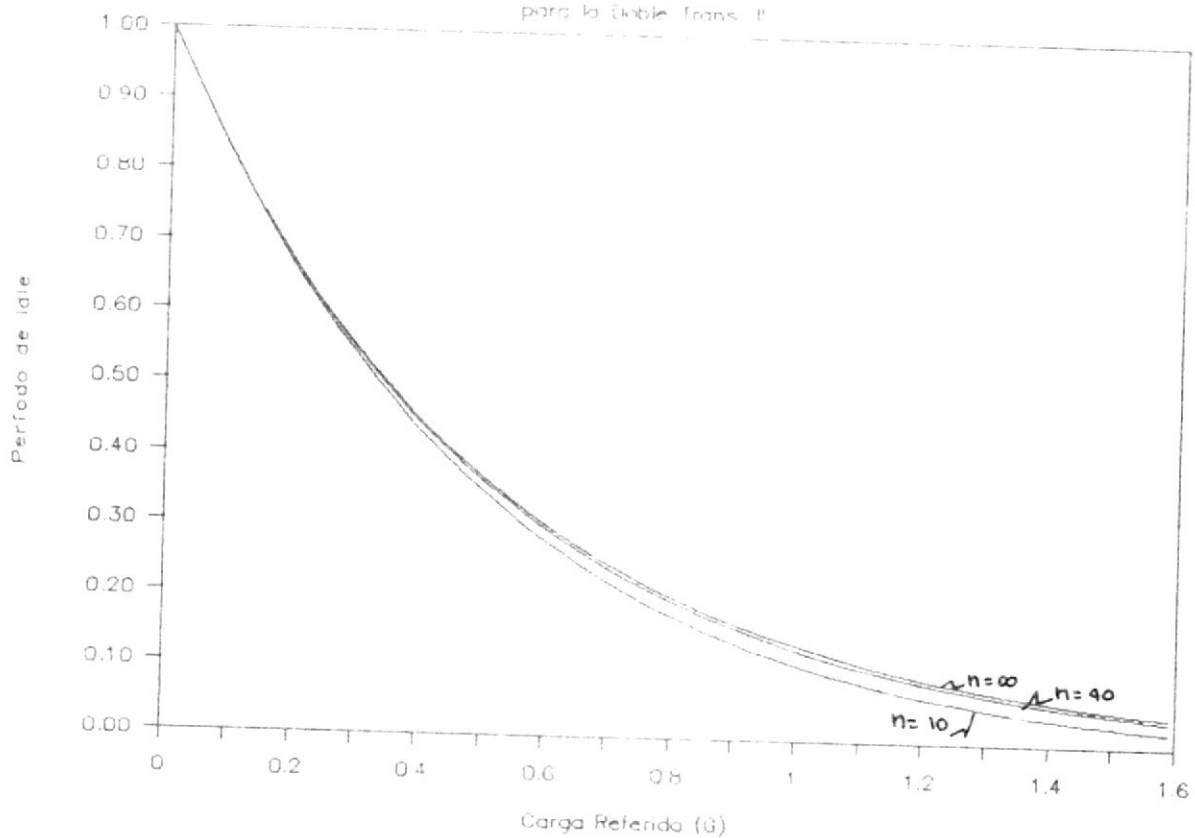
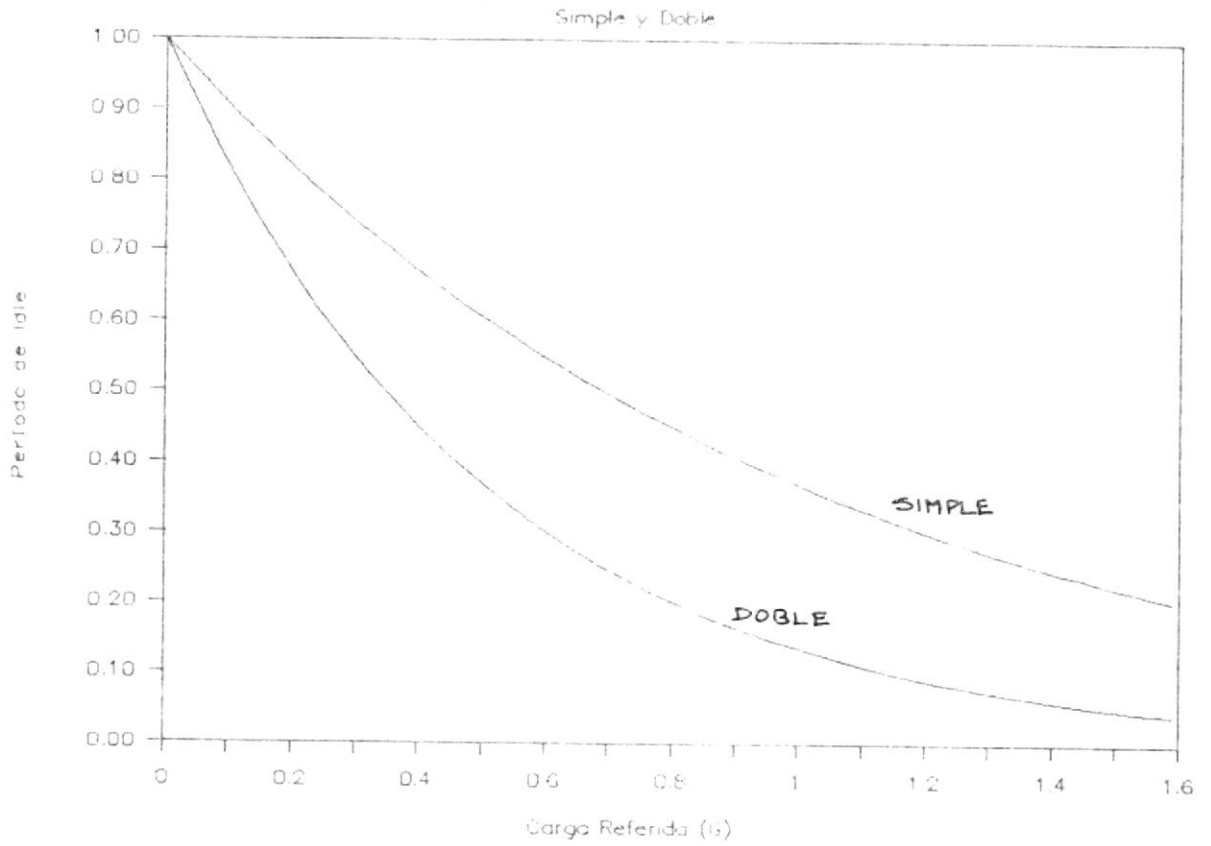


FIG.13 Comparación entre las Trans.



podemos ver de que la utilización del canal es incrementada por más de un 50 %. En el incremento de la utilización del canal hay que considerar dos situaciones algunas veces es factible (para transmisiones efectivas) y algunas veces no es efectiva (colisión). El interés es el de encontrar cuanto es factible y que cantidad no es factible.

Ahora , el rendimiento es la probabilidad de que cualquiera de la primera o segunda transmisión es factible . Esto esta compuesta de dos partes:

- 1 . La Probabilidad P_1 de que la primera transmisión sea exitosa.
- 2 . La Probabilidad P_2 de que la primera transmisión colisione y la segunda transmisión sea exitosa.

En otras palabras , el rendimiento es la probabilidad de que la primera transmisión sea efectiva más la probabilidad de que estos paquetes colisionen a la primera transmisión son transmitidos exitosamente en la segunda transmisión .

Cuando una estación terrena transmitiere un paquete exitosamente a la primera transmisión trata de que la estación terrena tenga un paquete a transmitir (con la probabilidad g) y todas las otras $n-1$ estaciones

terrenas transmitan algún paquete (con la probabilidad $(1-2g)^{n-1}$). Así la probabilidad P_1 de que alguna de las n estaciones terrenas transmitan un paquete exitosamente a la primera transmisión y otras $n-1$ estaciones no lo hagan.

$$P_1 = n * g * (1-2g)^{n-1} = G + (1-2g)^{n-1} \quad 5-3$$

o para un número infinito de estaciones terrenas

$$P_1 = G * e^{-2G} \quad 5-4$$

Ahora, si se considera estos paquetes los cuales han colisionado en el primer intento de transmisión, la Probabilidad de que estos paquetes que han colisionado en la primera transmisión sean transmitido exitosamente a la segunda transmisión es la probabilidad de que una estación terrena tenga un paquete colisionado a la primera transmisión $(G-P_1)$ veces la probabilidad de que otras $n-1$ estaciones no transmitan $(1-2g)^{n-1}$, así P_2 es :

$$P_2 = (G-P_1) * (1-2g)^{n-1} \quad 5-5$$

De la ecuación 6-3 con 6-5 tenemos que el rendimiento para la doble transmisión S_1 es



$$S1 = P1 + P2 = 2 * P1 - G * (1 - 2P)^{n-1} / 2$$

5-6

o para un número infinito de estaciones terrenas

$$S1 = 2 * G * e^{-2G} - G * (e^{-2G})^2$$

5-7

La Fig. 14 da las curvas de S1 versus G con n estaciones terrenas donde n = 10, 40, e infinito número de estaciones terrenas respectivamente. La Fig 15. es la comparación del rendimiento de un normal ALOHA Ranurado y un ALOHA Ranurado para la doble transmisión.

De la Fig. 15, podemos ver que en el rango entre G = 0 y G = 0.5, el rendimiento de la doble transmisión S1 es cerca del 10% mayor que el de la transmisión simple (Ss), el máximo valor de S1 no es de tanta diferencia que el de Ss. Entonces para estos estados en una red particular: G no es más que 0.5, se puede mejorar el rendimiento a partir de la doble transmisión.

La Probabilidad C' de que la red este en estado de colisión es la probabilidad de que dos o más estaciones terrenas transmitan paquetes en un mismo slot (ranura):

Fig.14 Rendimiento de la doble trans.

SI con n estaciones terrenas

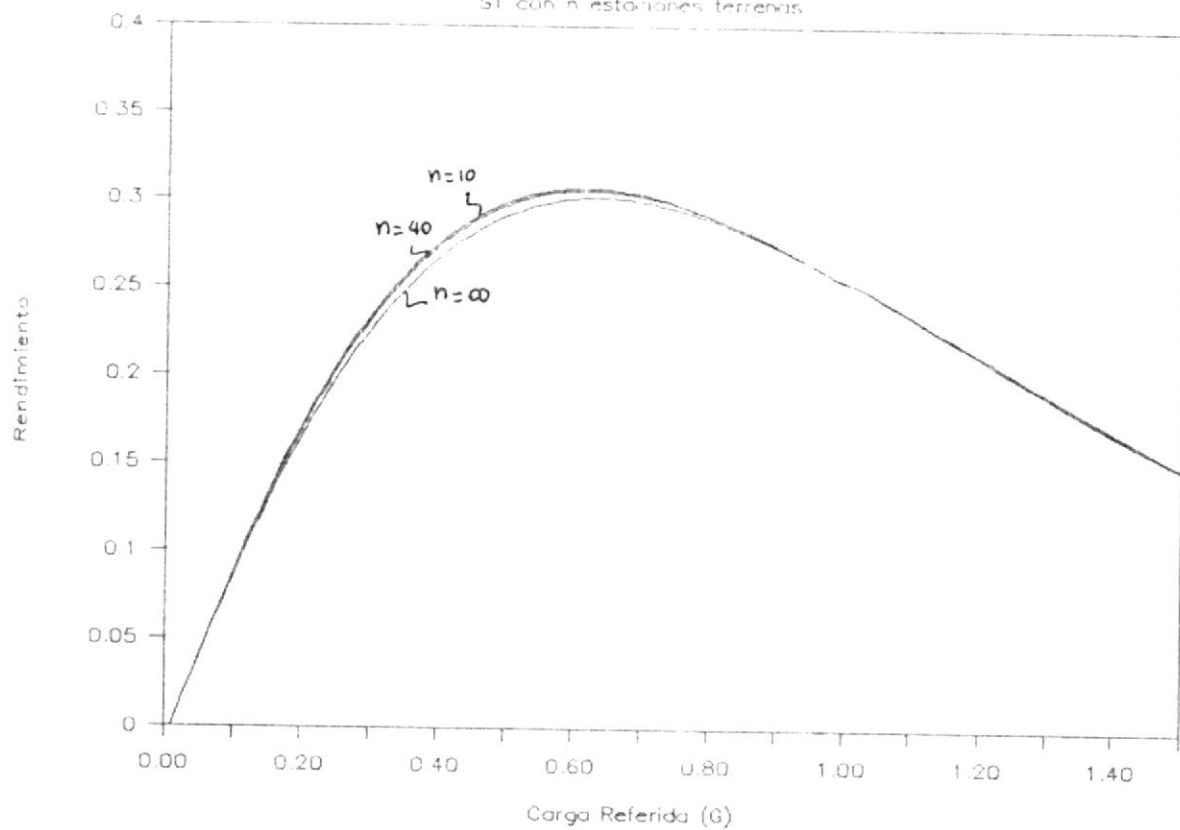
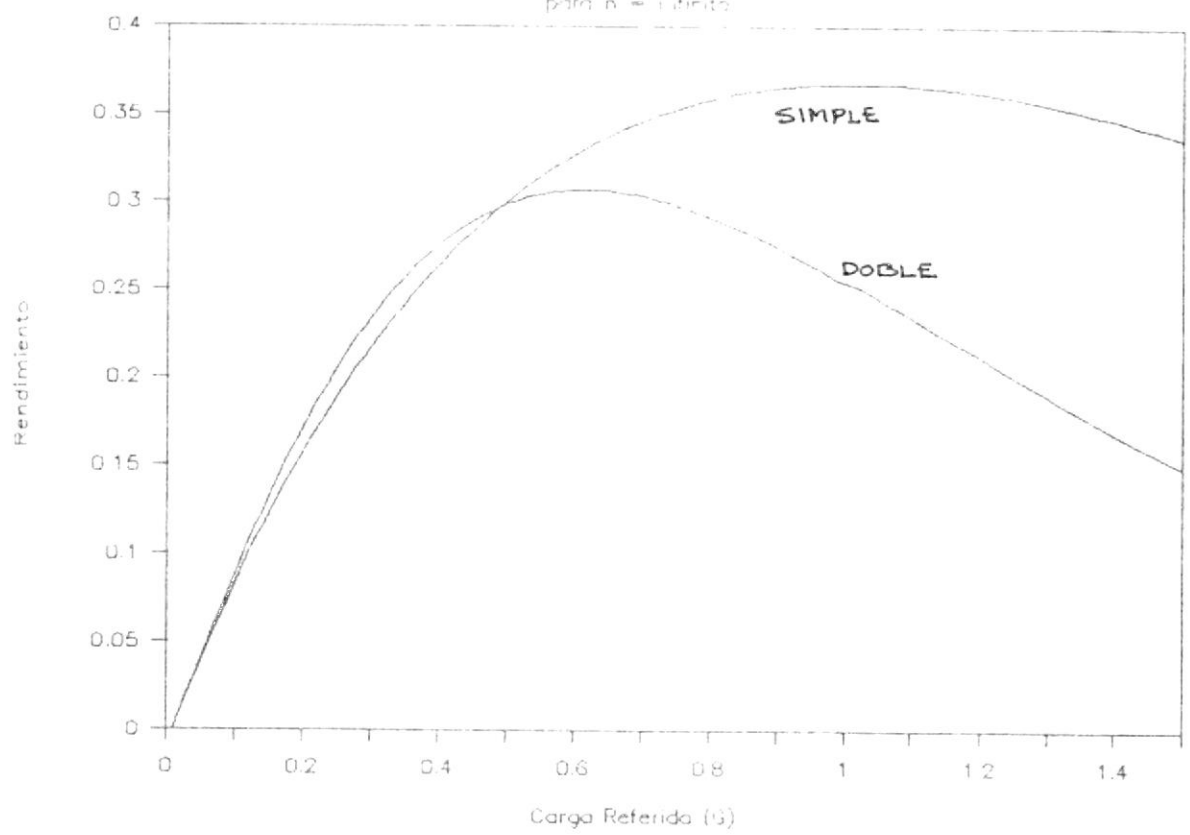


Fig.15. Comparación entre S y S1
para $n = 1$ minuto



$$C = (2g)^K + (1-2g)^{n-k} \quad 5-8$$

La Fig. 16 presenta las curvas de C versus G , con n estaciones terrenas, $n = 10, 40$ respectivamente. La fig. 17 presenta la comparación de colisión entre la doble transmisión y la transmisión simple. De ésta gráfica podemos comparar los dos tipos de colisiones notar que C es mucho mejor que C_1 . Pero aquí se nota una diferencia muy significativa: que en la doble transmisión no todas las colisiones producen retransmisiones. Solamente cuando ambas de las dos transmisiones de un paquete colisionan hace el envío de retransmisión a la estación terrena el paquete colisionado. La probabilidad de retransmisión C_1 es la probabilidad de que ambas transmisiones colisionen:

$$C_1 = C^2 \quad 5-9$$

La Fig. 18 presenta las curvas de probabilidad de retransmisión versus rendimiento S_1 con n estaciones terrenas, $n = 10, 40$ respectivamente. La Fig. 19 presenta la comparación de la doble transmisión y la transmisión simple. De aquí podemos ver que C_1 es mucho menor que C (en efecto es menor que la mitad) en el rango de $G = 0$ y $G = 0.5$. Esto nos dice de que el número de retransmisiones de la doble transmisión es menor que el de la transmisión simple si G es menor que 0.5 .



BIBLIOTECA

Fig.16 Periodo de Colisión C' vs Carga

Referida para la doble transmisión

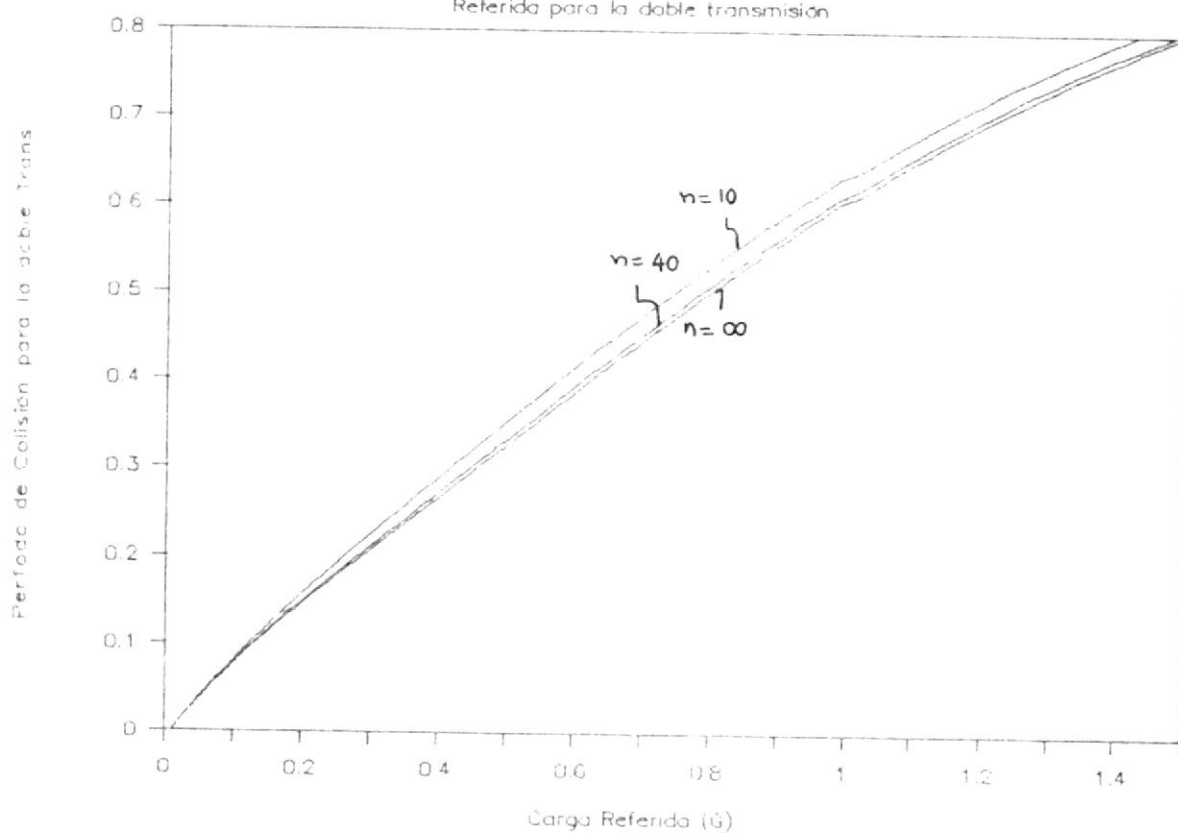
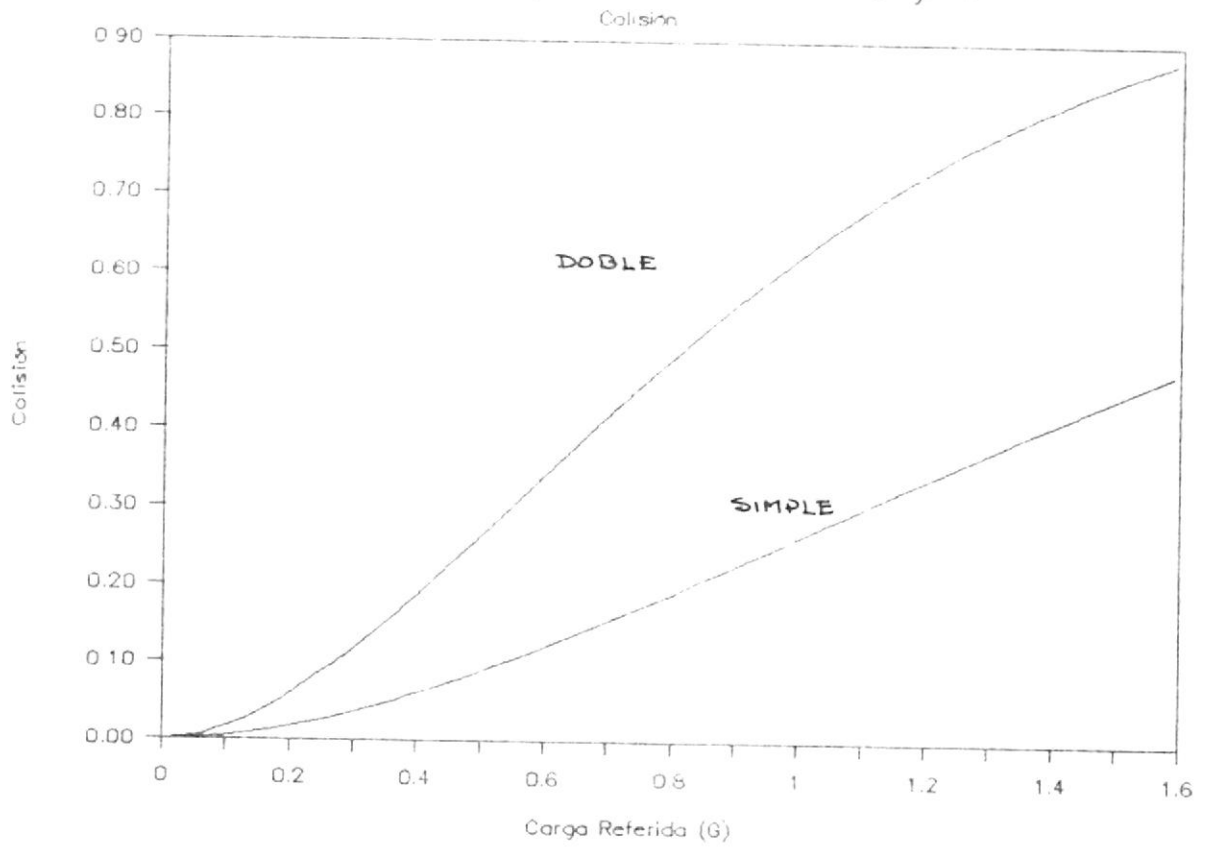


FIG.17 Comparación entre C y C'





BIBLIOTECA

FIG.18 Distribución de Retransmisiones
para la Doble Transmisión

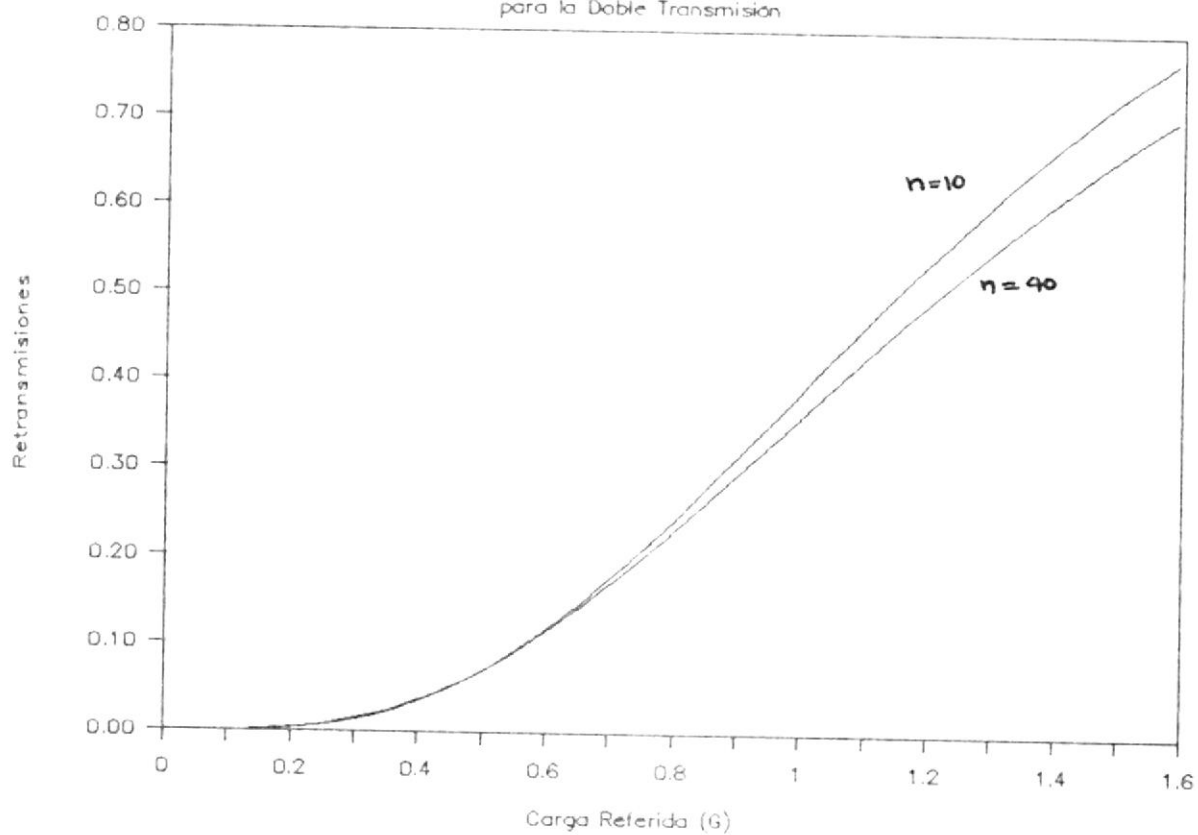
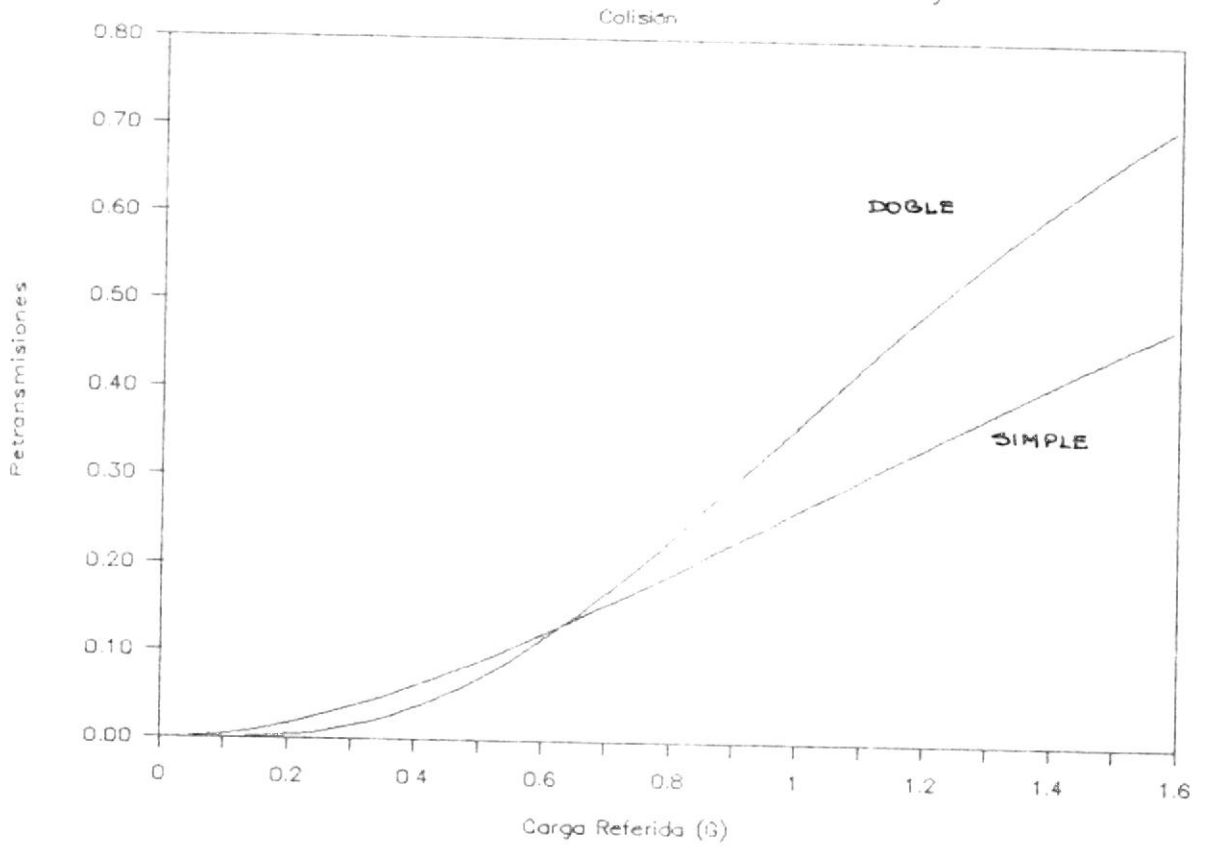


FIG.19 Comparación entre C1 y C



De la ecuación 5-7 encontramos el tiempo de espera normalizado de cada paquete $W1$ para la doble transmisión :

$$W1 = C1/S1 \quad 5-10$$

La Fig. 20 da las curvas de $W1$ versus rendimiento $S1$ para el ALOHA RANURADO para retransmisiones con "n" estaciones terrenas , $n = 10, 40$ respectivamente. La Fig. 21 da la comparación de la transmisión doble y la transmisión simple. De la fig. 21, podemos ver que el tiempo de espera normalizado de la doble transmisión es mucho menor a la mitad de la transmisión simple cuando G es menor que 0.5.

De esto, podemos concluir de ésta gráfica que la transmisión de varios paquetes, dos veces, en vez de una sola incrementaremos el rendimiento de la red, reduciremos el período de idle y la probabilidad de retransmisión cuando G es menor que 0.5.

La siguiente pregunta es : ¿ Cuántas transmisiones por cada paquete es la óptima?

5.2 Triple Transmisión

Definición de Protocolo : En cualquier lugar en que una estación terrena tenga un paquete listo , éste es transmitido tres veces. El intervalo entre las dos

FIG.20 Retransmisiones W1 versus Rendimiento

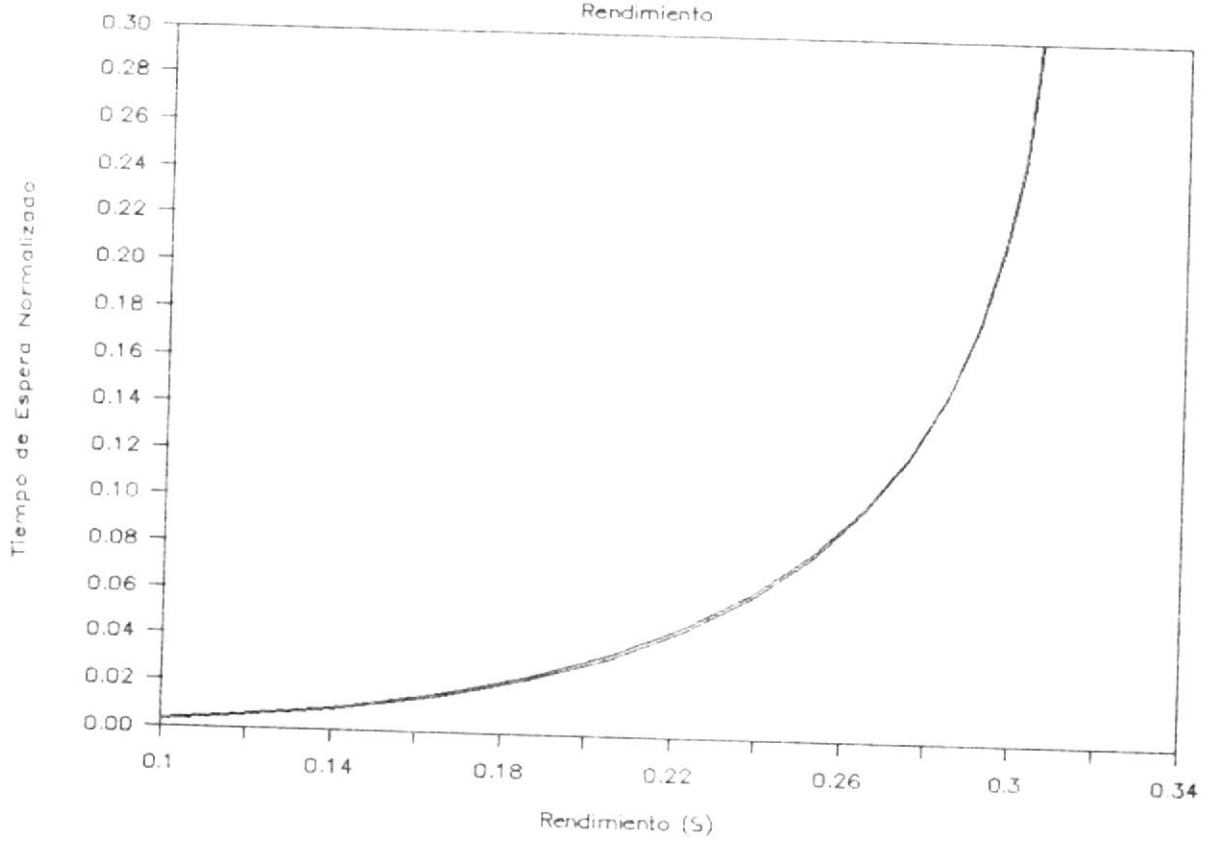
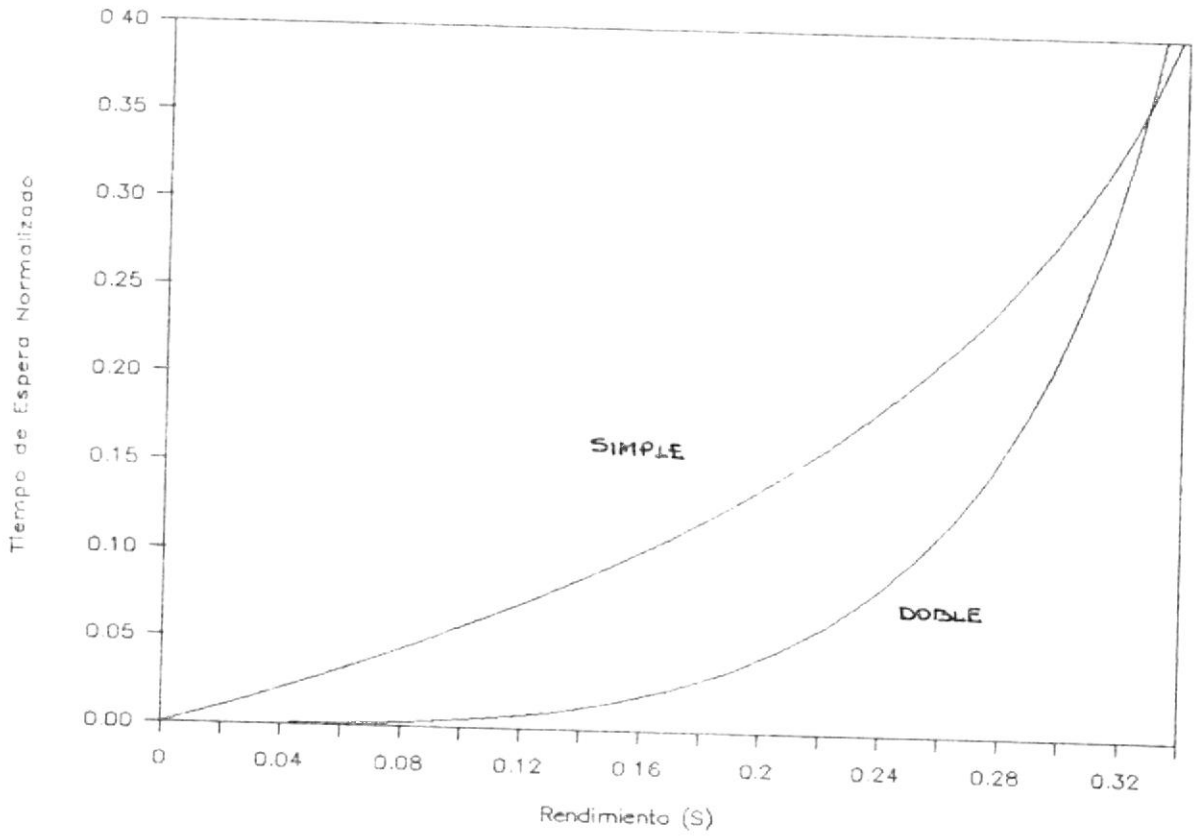


FIG.21 Comparación entre W_n y W_1 

transmisiones es lo llamado "longitud aleatoria". Lo que se desea es que uno o dos de las tres sean factibles. Si todas las transmisiones del paquete colisionan la estación terrena enviará nuevamente la triple transmisión.

Toda la transmisión de la estación terrena, sus paquetes, son transmitidos tres veces, así entonces la probabilidad de que una estación terrena pueda transmitir un paquete en el siguiente slot es $3 * g$ ($3g$ para abreviación), y el tráfico total de la red entera es $3 * G$ ($3G$). Lo siguiente es el análisis de la transmisión triple.

La Probabilidad I_2 de que la red este en estado de Idle es la probabilidad de que todas las n estaciones no transmitan en un slot dado es:

$$I_2 = (1-3g)^n \quad 5-11$$

o para un infinito número de estaciones terrenas

$$I_2 = e^{-3G} \quad 5-12$$

La Fig. 22 da las curvas de I_2 versus G para n estaciones terrenas, $n = 10, 40$ e infinito número de estaciones terrenas respectivamente. La Fig. 23 es la

FIG.22 Distribución del Período de Idle
I2 versus Carga Referida G

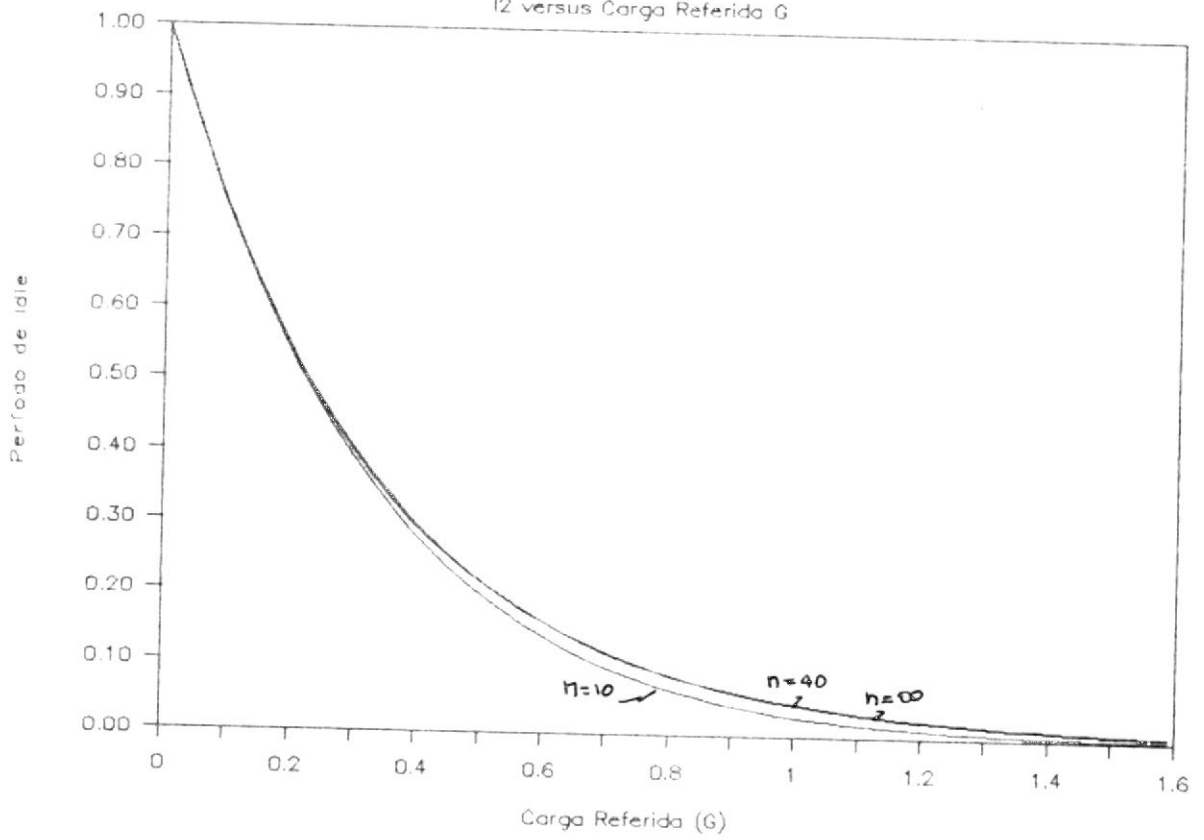
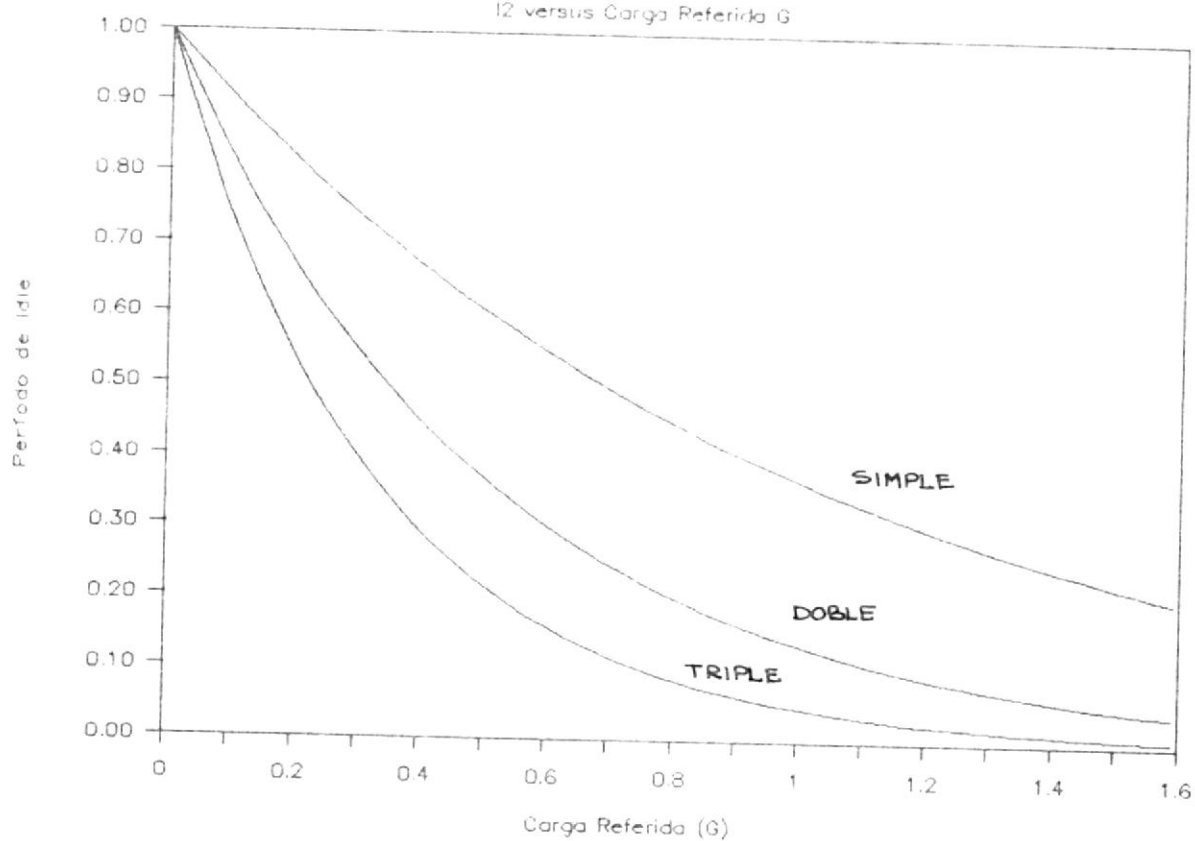


FIG.23 Comparación entre I, II e II
12 versus Carga Referida G



comparación del período de idle para la transmisión simple, doble y triple transmisión.

De la Fig. 23. se puede observar que la utilización del canal es incrementada cerca de un 50 % . También algo del incremento es factible (transmisión exitosa) y algo no lo es (colisión).

Ahora , el rendimiento de la transmisión simple es la probabilidad de que uno de las tres transmisiones es exitosa, excluyendo los duplicados . Esto está compuesta por dos partes :

- 1 . La Probabilidad P_1 de que la primera transmisión sea exitosa.
- 2 . La Probabilidad P_2 de que la primera transmisión colisione y la segunda transmisión sea exitosa.
- 3 . La Probabilidad P_3 de que la primera y segunda transmisión colisionen y la tercera sea exitosa.

En otras palabras , el rendimiento de la triple transmisión es la probabilidad de que la primera transmisión es efectiva más la probabilidad de que



estos paquetes colisionen en la primera transmisión son transmitidos exitosamente en la segunda transmisión la probabilidad de que estos paquetes colisionados en la primera y segunda transmisiones sean transmitidos exitosamente en la tercera transmisión .

Una estación terrena transmite un paquete exitosamente a la primera transmisión cuando la estación terrena tiene un paquete a transmitir (la probabilidad es g) y todas las otras $n-1$ estaciones terrenas no transmita algún paquete de todos (la probabilidad es $(1-3g)^{n-1}$) . Así P_1 es entonces la probabilidad que una de las n estaciones terrenas transmita un paquete exitosamente a la primera transmisión y las otras $n-1$ estaciones terrenas no lo hagan.

$$P_1 = n * g (1 - 3g)^{n-1} = G * (1-3g)^{n-1} \quad 5-13$$

o para una infinita cantidad de estaciones terrenas

$$P_1 = G * e^{-3G} \quad 5-14$$

Para una estación terrena en particular , se va a considerar sólo esos paquetes los cuales han colisionado a la primera transmisión . La probabilidad P_2 de que esos paquetes colisionados a la primera

transmisión sean transmitidos exitosamente a la segunda transmisión es la probabilidad de que una estación terrena tenga un paquete colisionado a la primera transmisión $(G-P1)$ veces la probabilidad de que otras $n-1$ estaciones terrenas no transmitan $(1-3g)^{n-1}$.

$$P2 = (G-P1) * (1-3g)^{n-1} \quad 5-15$$

Ahora , consideraremos esos paquetes los cuales colisionaron a la primera y segunda transmisión . La probabilidad $P3$ de que esos paquetes los cuales han colisionado en la primera y segunda transmisión sean transmitidos efectivamente a la tercera transmisión es la probabilidad de que de que una estación terrena tenga un paquete colisionado a la primera y segunda transmisión $(G-P1-P2)$ veces la probabilidad de que otras $n-1$ estaciones terrenas no transmitan $(1-3g)^{n-1}$:

$$P3 = (G-P1-P2) * (1-3g)^{n-1} \quad 5-16$$

De 5-13, 5-15, y 5-16 nosotros tenemos el rendimiento de la transmisión simple, $S2$ es

$$S2 = P1 + P2 + P3 = 3 * P1 - 3 * G * ((1-3g)^{n-1})^2 + G * ((1-3g)_{n-1})^3 \quad 5-18$$



La fig.24 da las curvas de S2 versus G con estaciones terrenas con n = 10, 40 e infinito numero de estaciones terrenas. La fig. 25 es la comparación de rendimiento para la transmisión simple , doble y triple transmisión .

De Fig. 25 podemos observar de que el rendimiento de la transmisión triple es mejor que la transmisión simple y doble cuando G es menor que 0.4.

La probabilidad C'' de que la red este en estado de colisión es la probabilidad de que dos o mas estaciones terrenas transmitan paquetes en el mismo slot es:

$$C'' = \sum_{k=2}^n \binom{n}{k} (3g)^k * (1-3g)^{n-k} \quad 5-19$$

La Fig.26 presenta las curvas de C'' versus G con n estaciones terrenas para n = 10 , 40 , e infinito número de estaciones respectivamente. La Fig. 27 da la comparación de la triple transmisión , doble y simple transmisión . De las gráficas podemos ver que C'' es mayor que C' y que C. En este caso no todas las colisiones causen retransmisiones. Solamente cuando todas tres transmisiones de un paquete colisionan , al hacerlo la estación terrena retransmitirá el paquete. La Probabilidad C2 de que todas transmisiones del mismo paquete colisionen es:

FIG.24 Rendimiento para la Triple Trans
versus Carga Referida (G)

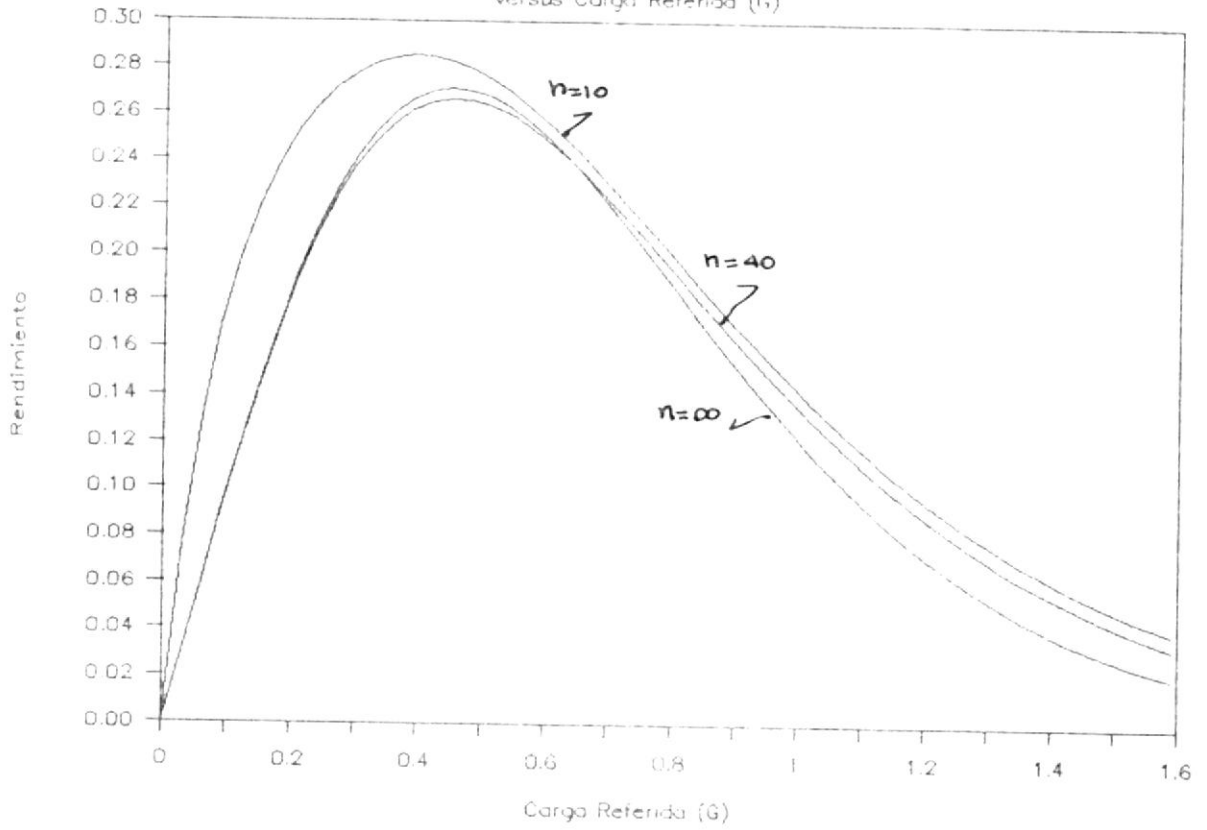


FIG.25 Comparación entre Rendimientos
para la Simple, Doble y Triple

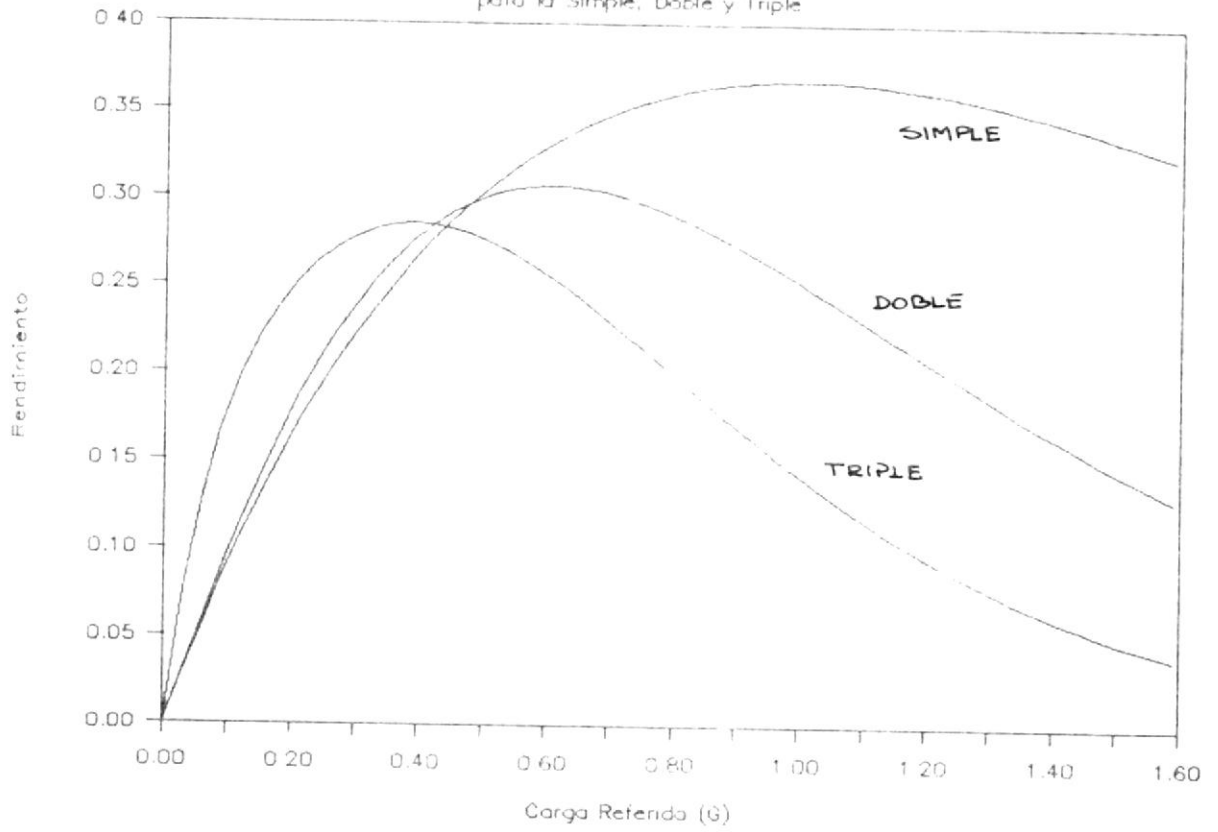
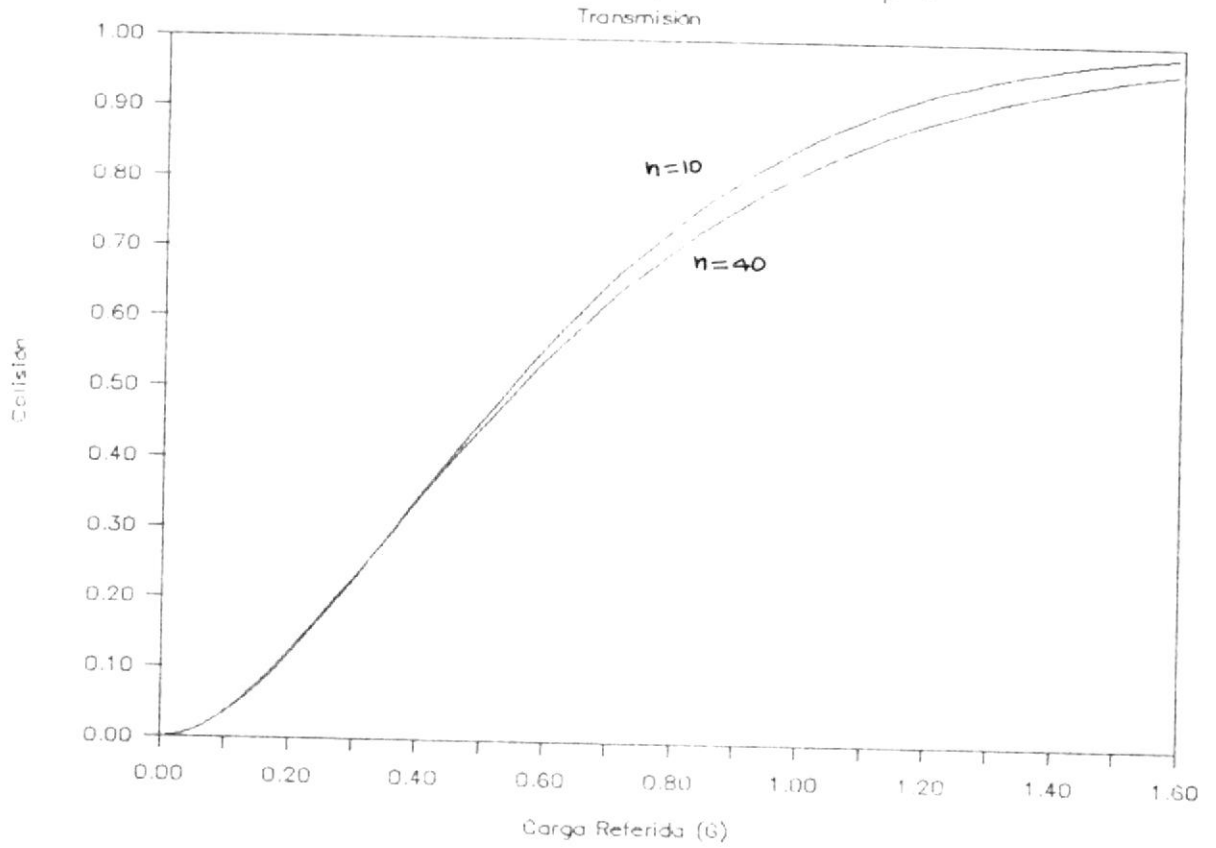


FIG.26 Colisión para la Triple



$$C_2 = C^3$$

5-20

Las figs. 28 presenta las curvas de la probabilidad de retransmisión versus rendimiento S para la transmisión triple, doble y simple respectivamente. De las curvas podemos ver que c_2 es menor que C_1 y que C cuando S es menor que 0.25.

De la ecuación 5-10 nosotros se tiene el tiempo de espera normalizado W_2 de al Triple transmisión es:

$$W_2 = C_2/S^2$$

5-21

La Fig.29 presenta las curvas de tiempo de espera normalizado W_2, W_1, W versus Rendimiento para la triple transmisión, doble y simple transmisión cuando G es menor que 0.4.

5.3 M-Transmisión

Definición de Protocolo: En cualquier lugar una estación terrena tiene un paquete listo para transmitir, éste es transmitido m veces. Entre dos cualquiera transmisiones hay el llamado intervalo de tiempo de longitud promedio. Alguna de la s m

FIG.27 Comparación entre las Colisiones
para los tres tipos de Transmisiones

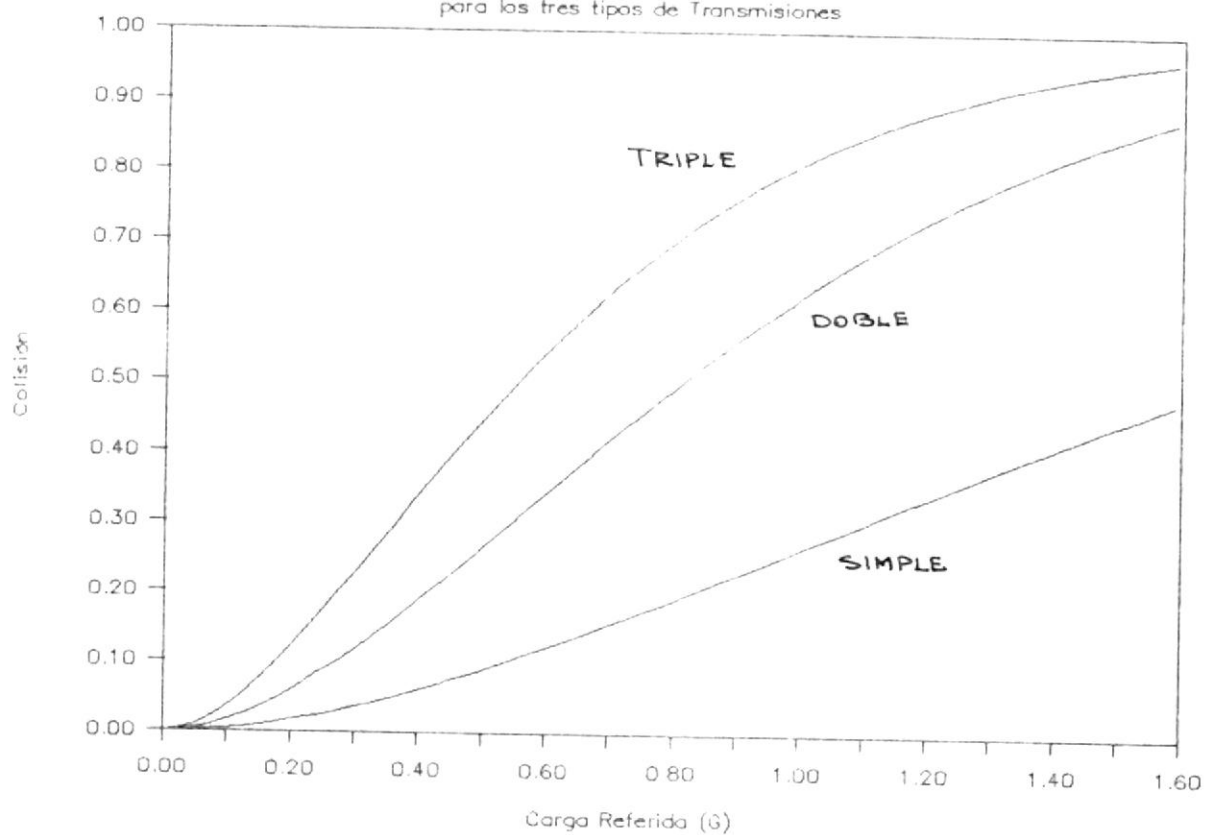


FIG.28-A Retransmisión vs Rendimiento
para Trans. Simple

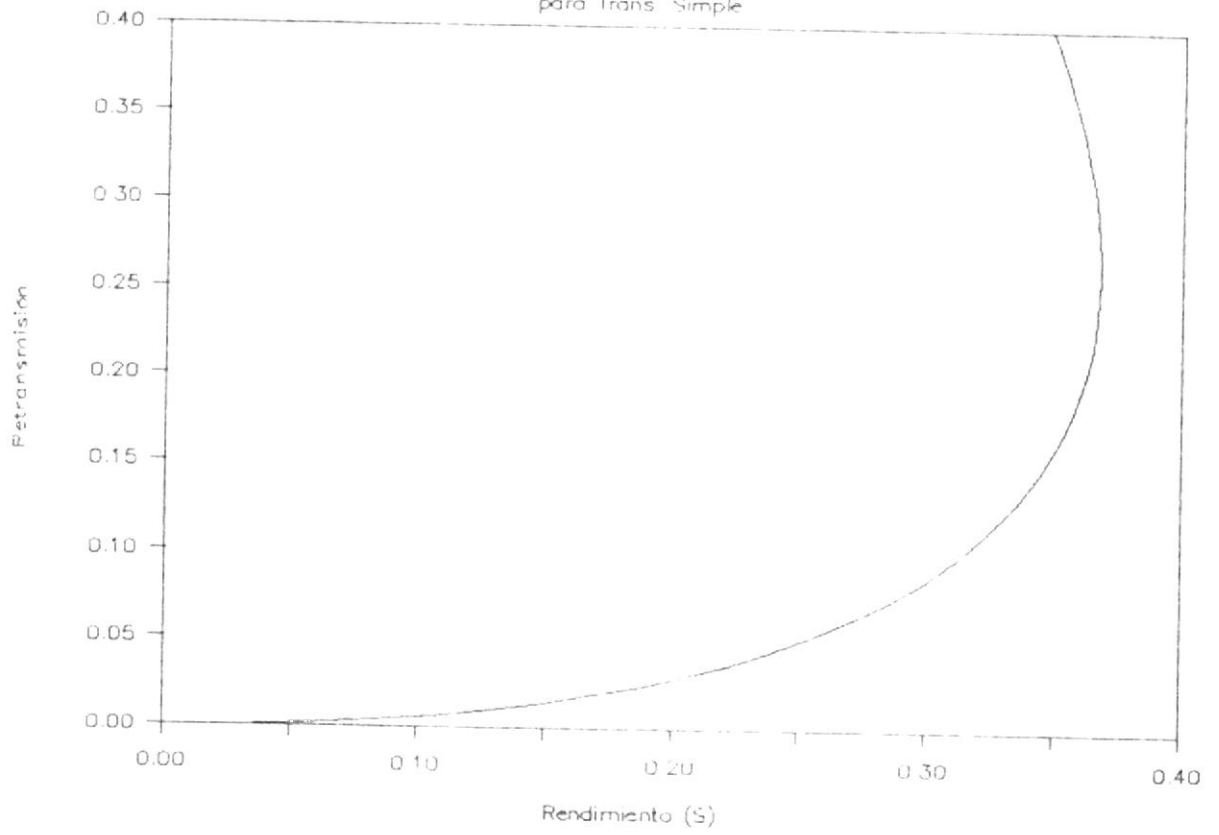


FIG.28--B Retransmisión vs Rendimiento
para Trans. Triple

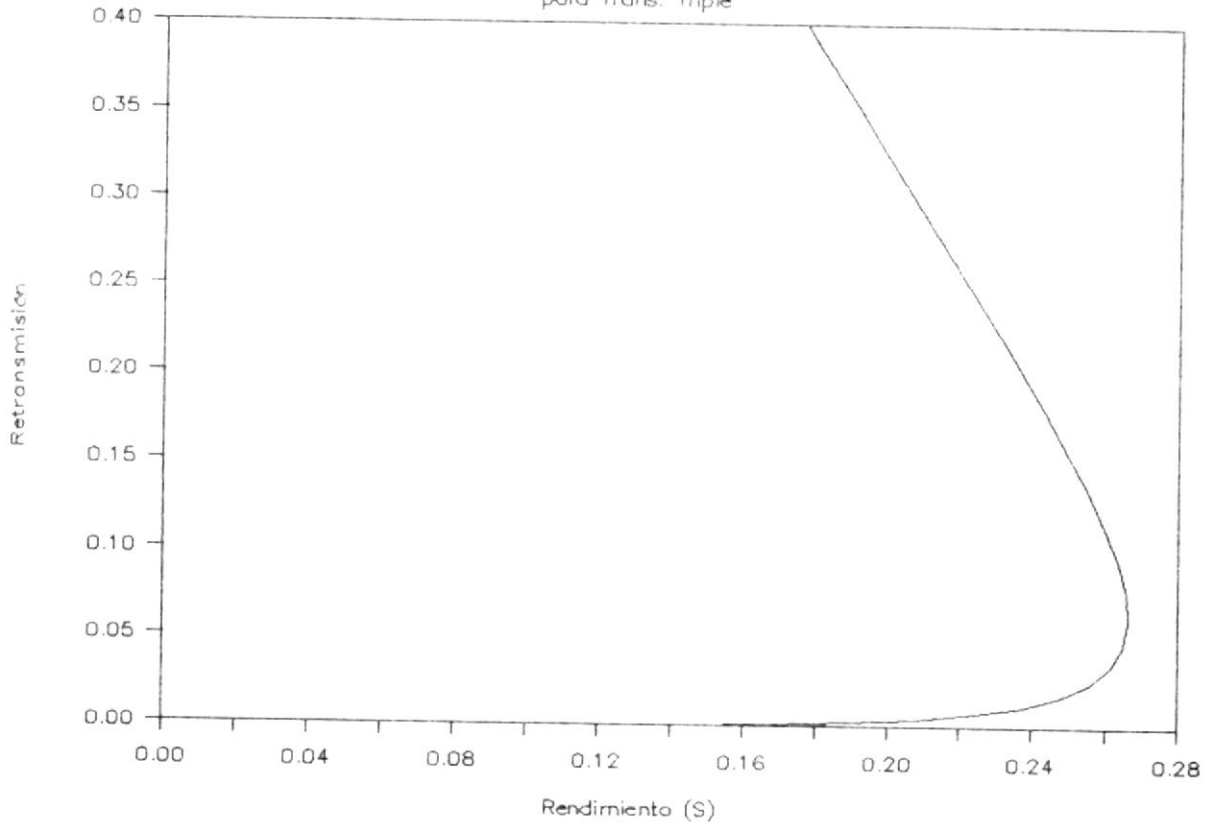


FIG.28-C Retransmisión vs Rendimiento
para Trans. Doble

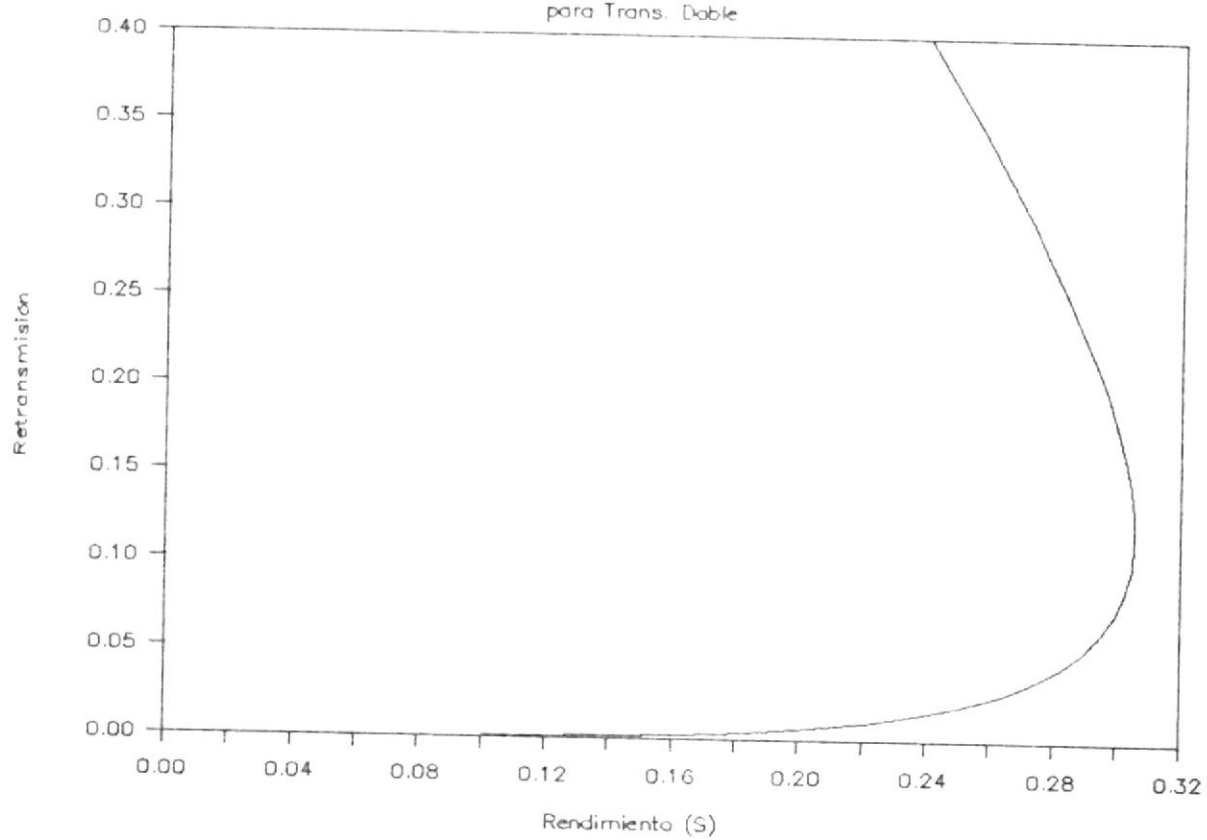
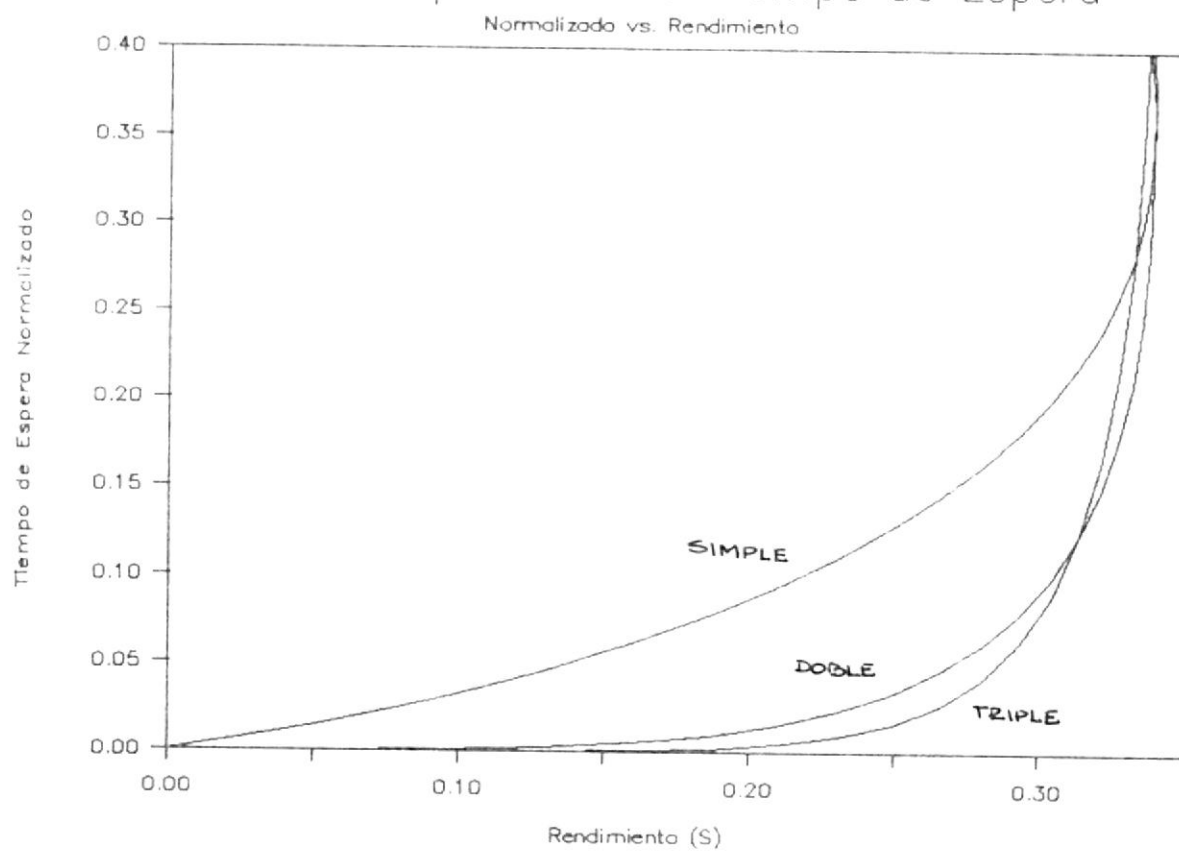


FIG.29 Comparación del Tiempo de Espera



transmisiones es exitosa permite al HUB el recibir el paquete. Si todas las m transmisiones colisionan, la estación terrena enviará el paquete de nuevo m veces.

Ahora, todas las estaciones terrenas transmiten su paquete m veces, por consiguiente, la probabilidad de que una estación terrena transmita un paquete en el siguiente slot es $m \cdot g$ (mg para abreviación), y el tráfico total de la red entera es $m \cdot G$ (mG). De la discusión de la sección 5.1 podemos deducir lo siguiente:

1. La Probabilidad I_m de que una red este en estado de idle es la probabilidad de que todas las n estaciones no transmiten en un slot dado es:

$$I_m = (1 - mg)^n \quad 5-22$$

2. El rendimiento S de una red es la probabilidad de que solamente uno de las n estaciones transmitan y una de las m transmisiones sea efectivo es:

$$S = S_1 + S_2 + \dots + S_m \quad 5-23$$

Donde S_1 es la probabilidad de que la primera

transmisión sea efectiva . S_2 es la probabilidad de que estos paquetes colisionados en la primera transmisión sean transmitidos sin ningún problema o exitosamente a la segunda transmisióny Así entonces S_m es la probabilidad de que estos paquetes colisionados en todas las $m-1$ transmisiones sean transmitidos exitosamente a las m -transmisión .

3. La probabilidad C_m de que la red este en estado de colisión la cual es la probabilidad de que dos o más estaciones terrenas transmitan en un mismo slot es:

$$C_m = \sum_{n=2}^k \binom{n}{k} * (mg)^k * (1-mg)^{n-k} \quad 5-24$$

5.4 Número Optimo de Transmisiones

De acuerdo a los resultados , se puede afirmar que el número de transmisiones de cada paquete afecta el desarrollo de la red. El número óptimo de transmisiones para una red particular depende de la carga de la red. Si la carga de la red es siempre mayor que 0.5 , la transmisión simple es la mejor elección . Si la carga G es alrededor de 0.5, la doble transmisión da el mejor performance. Si la carga de la red es cerca de .35, la

triple transmisión es preferida. Si la carga de la red G es menor que 0.3, podemos pensar en una transmisión cuádruple o quintuple. Por consiguiente no hay un número de combinaciones óptimas de transmisiones para todas las condiciones. Cada red particular tiene su óptimo número de transmisiones.

CONCLUSIONES

La red de transmisión satélite tiene tres posibilidades : Transmisión , Colisión y Trabajo sin carga (Idle). La red sólo puede estar en uno solo de estos tres estados . solamente en el estado de transmisión es útil. Los otros dos estados no contribuyen al rendimiento de la red.

La estrategia de la multiple transmisión puede ser utilizada para incrementar la utilización del canal, reducir el período de pérdida y reducir la probabilidad de retransmisión , debido a la colisión. Finalmente ésta incrementa al rendimiento de la red cuando la carga de la red no va mas allá de algunos valores (dependiendo del número de transmisiones). Entonces transmitimos cada paquete muchas veces , retransmitimos un paquete solamente cuando todas las transmisiones del mismo paquete colisionan. Así se reduce el número de retransmisiones por medio de la colisión .

Observamos gráficamente que la doble transmisión es mejor que la transmisión simple en un 10 % , que la probabilidad de retransmisión de la doble es solamente la mitad de la transmisión simple y el tiempo de espera normalizado es menor que la mitad de la transmisión de ésta transmisión simple en comparación con la doble y

así sucesivamente. Los resultados son deducidos usando el teorema de Poisson.

RECOMENDACIONES.

El Incremento demográfico para el país y sobre todo para Guayaquil ; zona económicamente hiperactiva, exige una gran demanda en las comunicaciones via satélite , y para no encontrarnos con el problema que actualmente vive , la comunicación telefónica, es necesario preveer los problemas . En el desarrollo de una mejor planificación en las transmisiones satélites , es de recomendación la aplicación del sistema de transmisión múltiple por cuanto éste sistema otorga las pasibilidades para una mejor comunicación .

En lo que se refiere a evitar colisiones y aprovechar los espacios de trabajo al vacio de los sistemas , propongo éste estudio como un óptimo aprovechamiento , prevención de problemas y ayuda para una mejor planificación en el desarrollo en las comunicaciones de nuestro país.

BIBLIOGRAFIA.

- 1.- " Data and Computer Communications".....William Stallings.
- 2.- " Multiple - Access Protocols for Satellite" Parker Communication.
Networks: A Performance Comparacion , Shuji Tasaka, IEEE, Vol72, #11, Noviembre 1984.
- 3.- " Avances en la tecnologia de paquetes por radio " IEEE, Noviembre 1978.
- 4.- " BITS # 46" Wandel & Golterman
- 5.- " Telecommunications " VSATS, Febrero 1989
- 6.- "ALOHA Packet broad Casting - A Retrospect " Binder ,R. Abramson. National Computer Conference , 1975.